



## IMPIANTO AGRIVOLTAICO LUNESTAS

## COMUNE DI SASSARI E STINTINO

PROPONENTE

**Lunestas s.r.l.**

Traversa Bacchileddu, n. 22  
07100 SASSARI (SS)

**IMPIANTO AGRIVOLTAICO PER LA PRODUZIONE DI ENERGIA DA FONTE SOLARE  
NEL COMUNE DI SASSARI**

*AUTORIZZAZIONE UNICA REGIONALE - PROGETTO DEFINITIVO*

OGGETTO:

Relazione di Compatibilità Idrogeologica

CODICE ELABORATO

**PD  
R09**

COORDINAMENTO

Studio Tecnico Dott. Ing Bruno Manca

GRUPPO DI LAVORO S.I.A.

Dott.ssa Geol. Cosima Atzori  
Dott. Ing. Fabio Massimo Calderaro  
Dott. Giulio Casu  
Dott. Arch. Fabrizio Delussu  
Dott.ssa Ing. Silvia Exana  
Dott.ssa Ing. Ilaria Giovagnorio  
Dott. Giovanni Lovigu  
Dott. Ing Bruno Manca  
Dott. Ing. Luca Salvadori  
Dott.ssa Ing. Alessandra Scalas  
Dott. Nat. Fabio Schirru  
Dott. Nat. Vincenzo Ferri  
Dott. Agr. Giuseppe Puggioni

REDATTORE

Dott.ssa Geol. Cosima Atzori

REV.	DATA	DESCRIZIONE REVISIONE
00	Dicembre 2022	Prima emissione

FORMATO  
ISO A4 - 297 x 210

## INDICE

<b>1. PREMESSA .....</b>	<b>4</b>
1.1. Quadro normativo.....	4
<b>2. STUDI ED INDAGINI DI RIFERIMENTO .....</b>	<b>5</b>
<b>3. INQUADRAMENTO GEOGRAFICO GENERALE.....</b>	<b>6</b>
<b>4. CARATTERISTICHE DI PROGETTO DELL'OPERA.....</b>	<b>11</b>
<b>5. INQUADRAMENTO GEOLOGICO .....</b>	<b>13</b>
5.1. Descrizione del contesto geologico dell'area vasta oggetto di intervento.....	13
5.1. Unità tettonica dell'Argentiera .....	19
5.2. Unità tettonica di Canaglia .....	19
5.3. Successione sedimentaria mesozoica .....	19
5.4. Successione sedimentaria miocenica.....	22
5.5. Depositi Quaternari dell'area continentale .....	23
<b>6. CARATTERI GEOSTRUTTURALI, GEOMETRIA E CARATTERISTICHE DELLE SUPERFICI DI DISCONTINUITÀ.....</b>	<b>24</b>
<b>7. INQUADRAMENTO GEOMORFOLOGICO.....</b>	<b>24</b>
7.1. Analisi dell'area geomorfologicamente significativa al progetto.....	26
<b>8. INQUADRAMENTO CLIMATICO .....</b>	<b>28</b>
8.1. Precipitazioni.....	29
8.2. Temperature.....	30
8.3. Stima dell'Evapotraspirazione.....	31
<b>9. INQUADRAMENTO IDROGEOLOGICO .....</b>	<b>36</b>
9.1. Schema della circolazione idrica superficiale.....	36
9.1. Schema della circolazione idrica sotterranea .....	37
9.2. Dissesti in atto o potenziali che possono interferire con l'opera e loro tendenza evolutiva .....	40
<b>10. INQUADRAMENTO PEDOLOGICO .....</b>	<b>41</b>
<b>11. USO DEL SUOLO .....</b>	<b>42</b>
<b>12. INDAGINI GEOGNOSTICHE .....</b>	<b>43</b>
12.1. M.A.S.W. – Tecnica e parametri utilizzati.....	44
12.2. M.A.S.W. – Elaborazione risultati .....	46
12.2.1. Base sismica M1 .....	46
<b>13. ANALISI E SISMICITA' STORICA.....</b>	<b>48</b>
13.1. Vita nominale, classi d'uso e periodo di riferimento .....	49
<b>14. ANALISI DEI VINCOLI GRAVANTI SUI TERRENI .....</b>	<b>52</b>
14.1. Piano di Gestione del Rischio Alluvioni (PGRA).....	53
14.2. Piano Stralcio delle Fasce Fluviali (PSFF) .....	55
<b>15. MODELLO GEOLOGICO E GEOLOGICO-TECNICO .....</b>	<b>56</b>

**16. COMPATIBILITA' IDROGEOLOGICA .....57**

- 16.1. Ammissibilità dell'intervento alle prescrizioni del PAI .....57  
16.2. Analisi sulle variazioni della risposta idrologica, gli effetti sulla stabilità e l'equilibrio dei versanti e sulla permeabilità (Art.3 c.7 NTA PAI).....58

**17. CONCLUSIONI .....58**



**Indice delle figure**

Figura 1 Inquadramento geografico dell'area di progetto .....6  
Figura 2 Inquadramento topografico, CTR 1:10.000 Settore Ovest .....7  
Figura 3 Inquadramento topografico, CTR 1:10.000 settore Est .....8  
Figura 4 Inquadramento topografico IGM Serie 25 .....9  
Figura 5 Localizzazione area di progetto (Fonte RAS) .....10  
Figura 6 Vista laterale delle strutture di sostegno dei pannelli .....12  
Figura 7 Sezioni tipo della trincea per la posa dei cavidotto .....12  
Figura 8 Sezioni tipo della trincea per la posa dei cavidotto .....13  
Figura 9 Schema tettonico-strutturale della Sardegna .....15  
Figura 10 Schema Tettonico dell'area vasta di studio con l'area di dettaglio evidenziata in arancio (tratto da Ghiglieri et al 2006; 2009a) .....16  
Figura 11 Sezione geologica rappresentativa dell'area vasta (tratto da Ghiglieri et al 2006; 2009a) .....16  
Figura 12 Particolare della sezione geologica con dettaglio dell'area in studio .....18  
Figura 13 Stralcio Carta Geologica d'Italia scala 1:100.000 foglio 179 "Porto Torres" .....19  
Figura 14 Stralcio della Carta Geologica dell'area di interesse .....20  
Figura 15 Calcari della Formazione di Monte Nurra .....21  
Figura 16 Calcare oolitico della Formazione di Campanedda .....22  
Figura 17 Coltri eluvio-colluviali .....24  
Figura 18 paesaggio dell'area di studio .....25  
Figura 19 Caratteri geomorfologici dell'area vasta e significativa .....26  
Figura 20 Carta geomorfologica dell'area di progetto .....27  
Figura 21 Andamento pluviometrico dell'area vasta (espresso in mm) ricavato dalle stazioni pluviometriche di Sassari e di Fertilia (anno 2011). .....29  
Figura 22 Andamento della pluviometria mensile e annuale (nell'asse delle ordinate, in mm) per le stazioni di Sassari (e Fertilia per il solo 2011) nel periodo 2008-2018. ....30

Figura 23 Temperature mensili (in °C) registrate nella stazione di Sassari negli anni dal 2018 al 2012, e presso la stazione di Fertilia per il periodo 1995-2011.....	30
Figura 24 Temperature mensili (in °C, nell'asse delle ordinate) registrata nella stazione di Sassari per gli anni 2012-2018, e nella stazione di Fertilia per il periodo 1995-2011.....	31
Figura 25 Evapotraspirazione (espressa in mm) per la zona di Sassari.....	31
Figura 26 media mensile dei giorni di sereno, nuvoloso e coperto per il periodo 1961-1990, relativa alla stazione di Fertilia, espressa in okta.....	32
Figura 27 Ventosità media per inverno (a), primavera (b), estate (c), e autunno (d) durante il periodo 1971-2000 registrate nella stazione meteorologica di Fertilia.....	33
Figura 28 Umidità relativa per la stazione di Fertilia, per il periodo 1971-2000.....	34
Figura 29 Diagramma ombrotermico (Walter e Lieth) per il settore di Sassari.....	34
Figura 30 Climogramma relativo all'area di Sassari.....	35
Figura 31 Suddivisione dei bacini idrografici sardi.....	36
Figura 32 Carta dell'idrografia superficiale.....	37
Figura 33 Schema esemplificativo, non in scala, dei processi di infiltrazione e deflusso sotterraneo.....	38
Figura 34 Sistemi idrogeologici dell'area occidentale del foglio 459 "Sassari".....	39
Figura 35 Carta delle permeabilità dei substrati.....	40
Figura 36 Stralcio della Carta dei Suoli della Sardegna (Fonte RAS).....	41
Figura 37 Stralcio della Carta dell'Uso del Suolo, (Fonte RAS).....	42
Figura 38 Schema geometrico di acquisizione dei dati per gli stendimenti di lunghezza L = 46,0 m.....	44
Figura 39 Localizzazione stendimento nell'area vasta.....	45
Figura 40 Particolare dell'ubicazione dello stendimento M1.....	46
Figura 41 Parametri di deformazione dinamici e statici dei terreni determinati tramite misure sismiche.....	48
Figura 39 Parametri sismici in funzione delle coordinate geografiche del sito.....	51
Figura 43 Inquadramento PAI, Carta della Pericolosità Idraulica Hi (fonte RAS).....	52
Figura 44 Inquadramento PAI, Carta della Pericolosità Geomorfologica Hg (fonte RAS).....	53
Figura 45 Inquadramento PGRA (fonte RAS).....	54
Figura 46 Inquadramento PSFF (fonte RAS).....	55
Figura 44 Modello geologico del sito (6.2.1 NTC 2018).....	56

380

## 1. PREMESSA

Il proponente **Lunestas s.r.l.** intende realizzare un impianto agrovoltaiico in località "**Lunestas**" nei territori comunali di **Sassari e Stintino** e denominato "**Lunestas**", per il cui progetto è stato conferito, alla scrivente Geol. Cosima Atzori, regolarmente iscritta all'Albo Professionale dei Geologi della Sardegna al n°656, con studio in Sestu (CA) – C.D. Pittarello - Loc. Scala Sa Perda 87, C.F. TZRCMS72H41B354F e P.I.V.A. 03191600927, l'incarico professionale per la redazione della Relazione di Compatibilità Idrogeologica, secondo quanto previsto dalle NTA 2022 del PAI in supporto al progetto, con l'obiettivo di valutare la compatibilità idraulica e geologico-geotecnica dell'intervento e, in generale, di quanto prescritto dalla normativa vigente in materia di rischio idrogeologico.

### 1.1. QUADRO NORMATIVO

La presente è redatta in ottemperanza a quanto stabilito dalla vigente normativa in materia, con particolare riferimento a:

- D.M. LL.PP. 11.03.1988 "Norme Tecniche riguardanti le indagini sui terreni e sulle rocce, la stabilità dei pendii attuali e delle scarpate, i criteri generali e le prescrizioni per la progettazione, l'esecuzione e il collaudo delle opere di sostegno delle terre e delle opere di fondazione in applicazione della Legge 02.02.1974 n°64.
- Circ. Min. LL.PP. n° 30483 del 24.09.1988 – Istruzioni pe l'applicazione del D.M. LL.PP.11.03.1988.
- Raccomandazioni, programmazione ed esecuzione delle indagini geotecniche, 1975 – Associazione Geotecnica Italiana.
- D.M. Infrastrutture 17.01.2018 - Norme Tecniche per le Costruzioni. (6.2.1 – Caratterizzazione e modellazione geologica del sito, 6.4.2 Fondazioni superficiali)
- D.lgs. n. 152/2006 Norme in materia ambientale
- DPR 59/2013 Regolamento recante la disciplina dell'autorizzazione unica ambientale e la semplificazione di adempimenti amministrativi in materia ambientale gravanti sulle piccole e medie imprese e sugli impianti non soggetti ad autorizzazione integrata ambientale
- Dgls 50/2016 Codice dei contratti pubblici
- Deliberazione n. 6/16 del 14 febbraio 2014- Direttive in materia di autorizzazione unica ambientale. Raccordo tra la L.R. n. 3/2008, art.1, commi 16-32 e il D.P.R. n. 59/2013.
- Norme Tecniche di Attuazione PAI Agg.2022 - Allegato 2 alla Delib.G.R. n. 2/8 del 20.1.2022

## 2. STUDI ED INDAGINI DI RIFERIMENTO

Le informazioni topografiche e geologiche dell'area oggetto della presente sono state ricavate dalla cartografia tematica esistente. Si elencano di seguito:

- Carta Topografica I.G.M. scala in 1:25000
- Carta Tecnica Regionale in scala 1:10000
- RAS - Modello digitale del Terreno con passo 1m
- Carta Geologica dell'Italia in scala 1:100000.
- Cartografia Geologica di base della R.A.S. in scala 1:25000
- RAS - Carta dell'Uso del Suolo della Regione Sardegna, 2008
- I.S.P.R.A - Archivio nazionale delle indagini nel sottosuolo (legge 464/84)
- RAS – Studio dell'Idrologia Superficiale della Sardegna, annali idrologici 1922-2009
- RAS – ARPA – Dati meteorologici 1971-2000 e 2014
- RAS – Autorità di Bacino - Piano Stralcio d'Assetto Idrogeologico
- RAS – Autorità di Bacino - Piano di Tutela delle Acque
- RAS – Autorità di Bacino - Piano Stralcio delle Fasce Fluviali
- Analisi orto-fotogrammetrica

I dati a disposizione sono stati integrati con le informazioni derivanti dai sopralluoghi effettuati dalla scrivente in sito e dagli esiti della campagna di indagini geofisiche realizzata in data 30.08.2022 oltre che da lavori analoghi nei pressi della zona di interesse.

### 3. INQUADRAMENTO GEOGRAFICO GENERALE

L'area di progetto ricade nell'agro dei territori comunali i Sassari e Stintino, a nord-ovest del capoluogo sassarese e a sud del piccolo comune di Stintino, in località "Lunestas". Il territorio è subpiaggiate, debolmente immergente ad est, ad una quota media di circa 30m slmm.

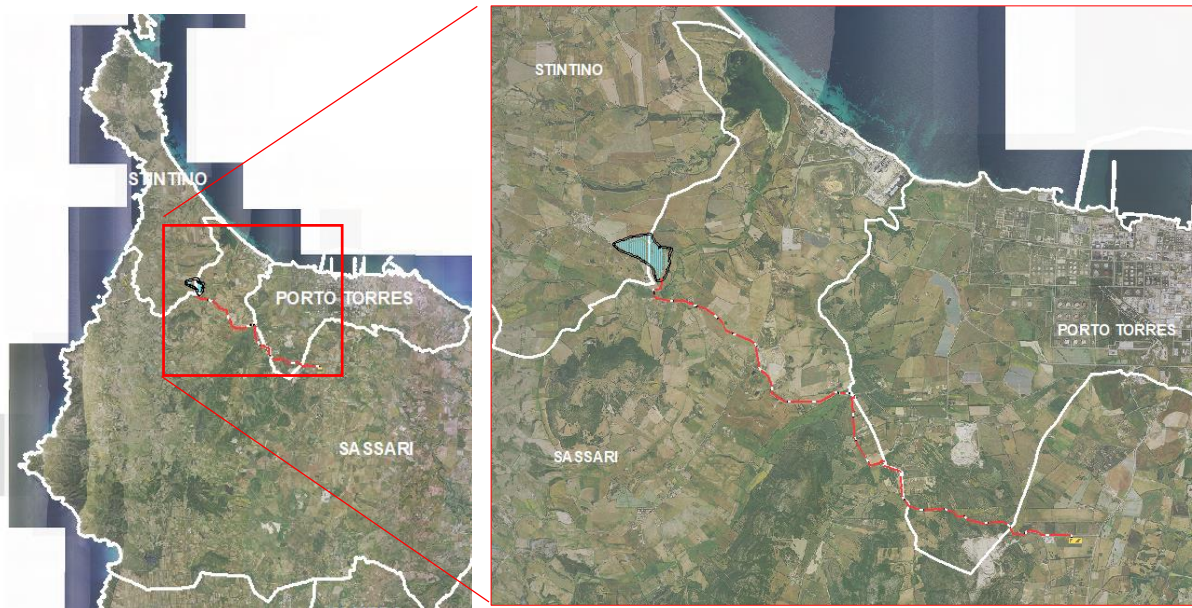


Figura 1 Inquadramento geografico dell'area di progetto

Le coordinate geografiche del centroide ipotetico di riferimento della porzione di impianto in località "Lunestas" sono: **1.437.406E – 4.520.456N**

L'inquadramento cartografico di riferimento è il seguente:

- Cartografia ufficiale dell'Istituto Geografico Militare I.G.M. Serie 25 foglio **440 II "Pozzo San Nicola"**
- Carta Tecnica Regionale della Sardegna – scala 1:10000 – sez. **440160 "Santa Giusta"**
- Carta Geologica d'Italia – scala 1:50000 – foglio **459 "Sassari"**
- Carta Geologica d'Italia – scala 1:100000 – foglio **179 "Porto Torres"**

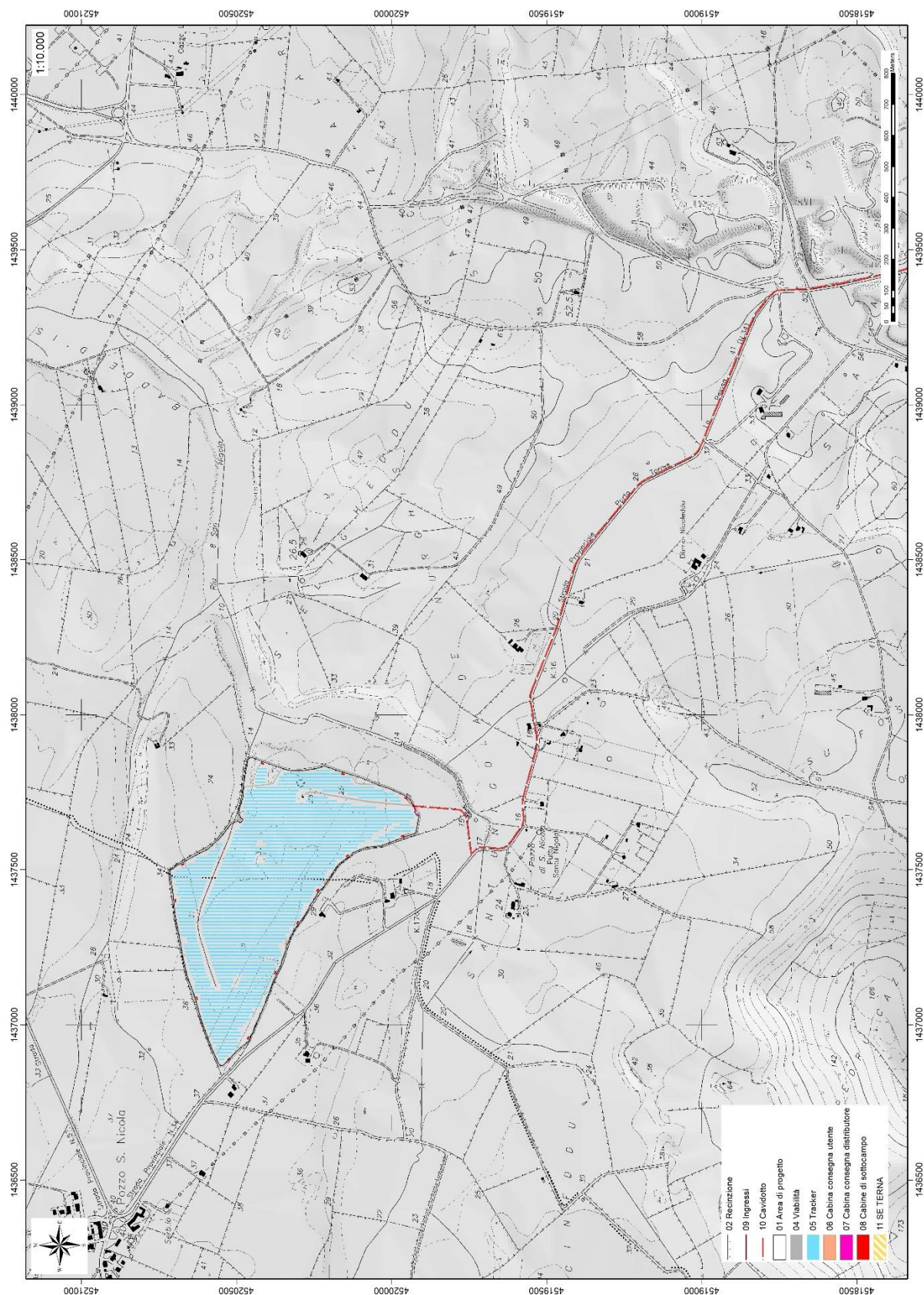


Figura 2 Inquadramento topografico, CTR 1:10.000 Settore Ovest





Figura 3 Inquadramento topografico, CTR 1:10.000 settore Est

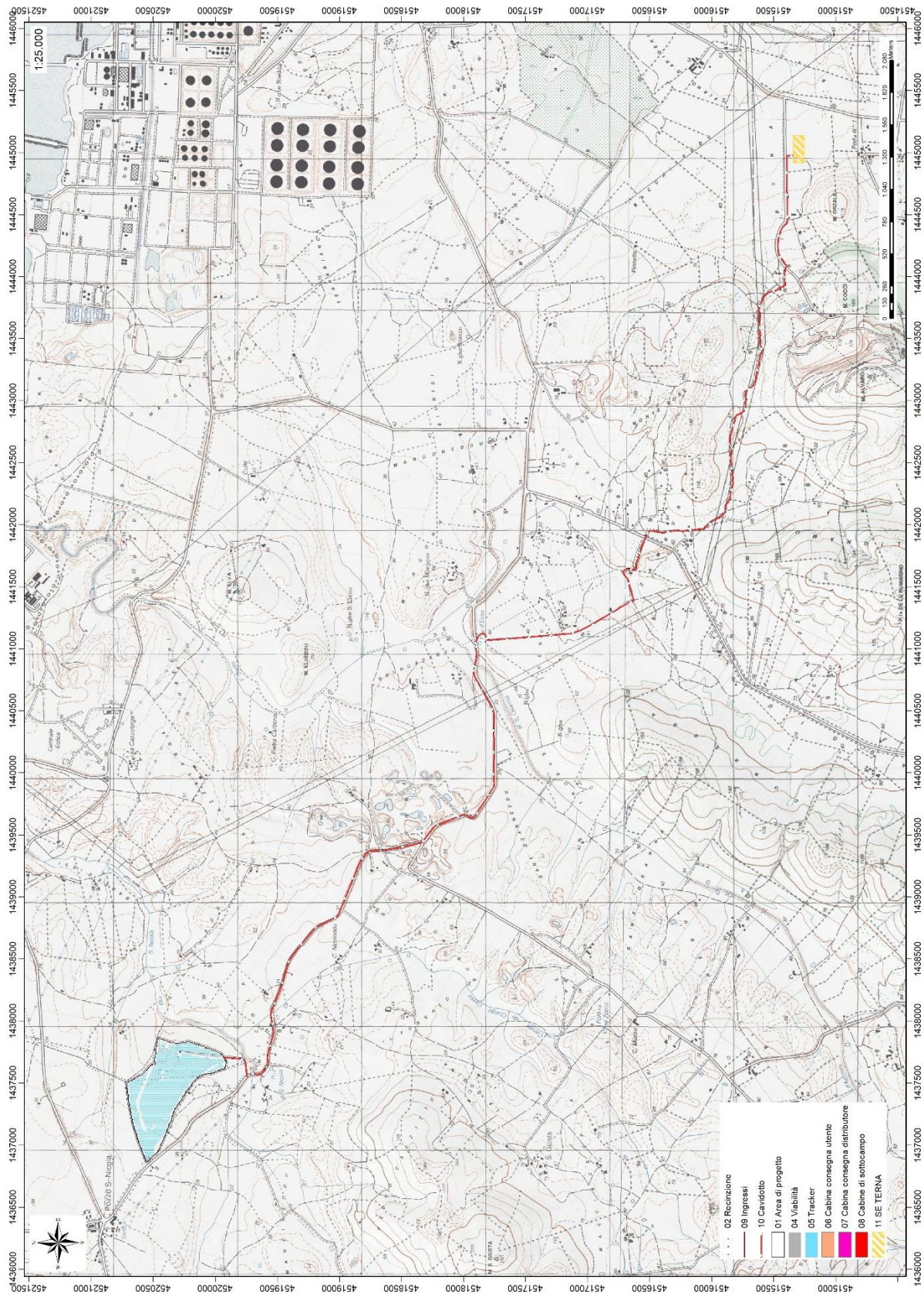


Figura 4 Inquadramento topografico IGM Serie 25

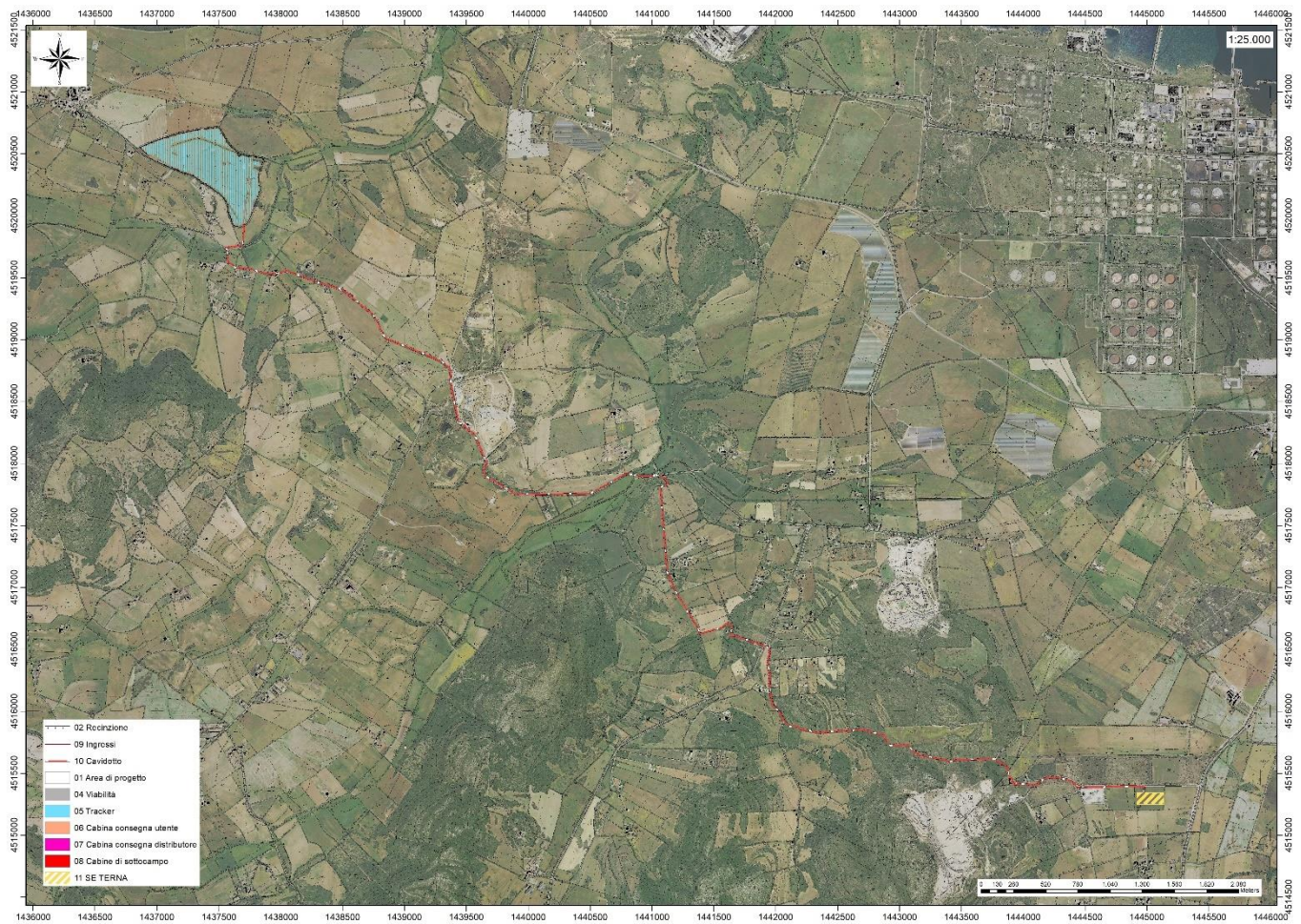


Figura 5 Localizzazione area di progetto (Fonte RAS)

## 4. CARATTERISTICHE DI PROGETTO DELL'OPERA

La presente relazione generale riguarda una centrale fotovoltaica per la produzione di energia elettrica da fonte rinnovabile solare denominata "LUNESTAS" con una potenza di picco di 24 446,52kWp.

L'impianto sarà del tipo grid-connected e l'energia elettrica prodotta sarà riversata completamente in rete, salvo gli autoconsumi di centrale, con connessione in antenna 36 kV sulla sezione a 36 kV della futura Stazione Elettrica (SE) a 150/36 kV della RTN da inserire in entra - esce alle linee esistenti della RTN a 150 kV n. 342 e 343 "Fiumesanto - Porto Torres" e alla futura linea 150 kV "Fiumesanto - Porto Torres", di cui al Piano di Sviluppo di Terna.

Gli impianti elettrici lato impianto sono trattati nella relazione specialistica PD-R03 - Relazione tecnica impianti elettrici lato produzione.

I moduli fotovoltaici saranno installati a terra mediante tracker monoassiali.

L'impianto è suddiviso in 4 campi agrivoltaici corrispondenti a 4 linee MT a 36 kV ARE4H5EX in cavo tripolare elicordato interrato che collegano le 4 cabine di campo alla cabina di raccolta 36 kV posizionata a bordo impianto.

Tutti i cavi di cui si farà utilizzo, sia per il collegamento interno dei sottocampi che per la connessione alla nuova cabina di raccolta a bordo lotto, saranno cavi multipolari con conduttori in alluminio riuniti in elica visibile.

Per l'attraversamento dei fiumi e delle strade di interesse primario (vedi PD-Tav09) è prevista la posa interrata mediante TRIVELLAZIONE ORIZZONTALE CONTROLLATA (T.O.C.).

Nel caso in questione, per i seguenti attraversamenti vedi (vedi PD-Tav09):

RIU SAN NICOLA – ACCQUA PUBBLICA REGIO DECRETO 25 LUGLIO 1904, N. 523

FIUME SANTO – ACCQUA PUBBLICA REGIO DECRETO 25 LUGLIO 1904, N. 523

STRADA PROVINCIALE 34

è prevista l'utilizzazione della T.O.C. per posare un tubo di polietilene PN 16 che attraverserà l'infrastruttura stradale ad una quota minima di 2 m al disotto del piano viario stesso e i corsi d'acqua ad una quota minima di 2 m in sub alveo. Il cavidotto conterrà tutti i cavi di energia, il cavo in fibra ottica e il conduttore di terra.

Il tipo di fondazione dei tracker, in pali metallici a profilo aperto infisso tramite battitura, non comporta alcun movimento di terra. Gli unici volumi tecnici presenti sono costituiti dalle cabine di trasformazione che vengono appoggiate su una vasca di fondazione contenente i vari cavi in entrata ed uscita dalla cabina stessa. Tali vasche in cemento armato sono posizionate all'interno di uno scavo con piano di posa a -0.60 m rispetto al piano di campagna. Gli scavi dei cavidotti interrati saranno riempiti con lo stesso materiale di scavo.

La struttura completa proposta è rappresentata nella figura seguente.

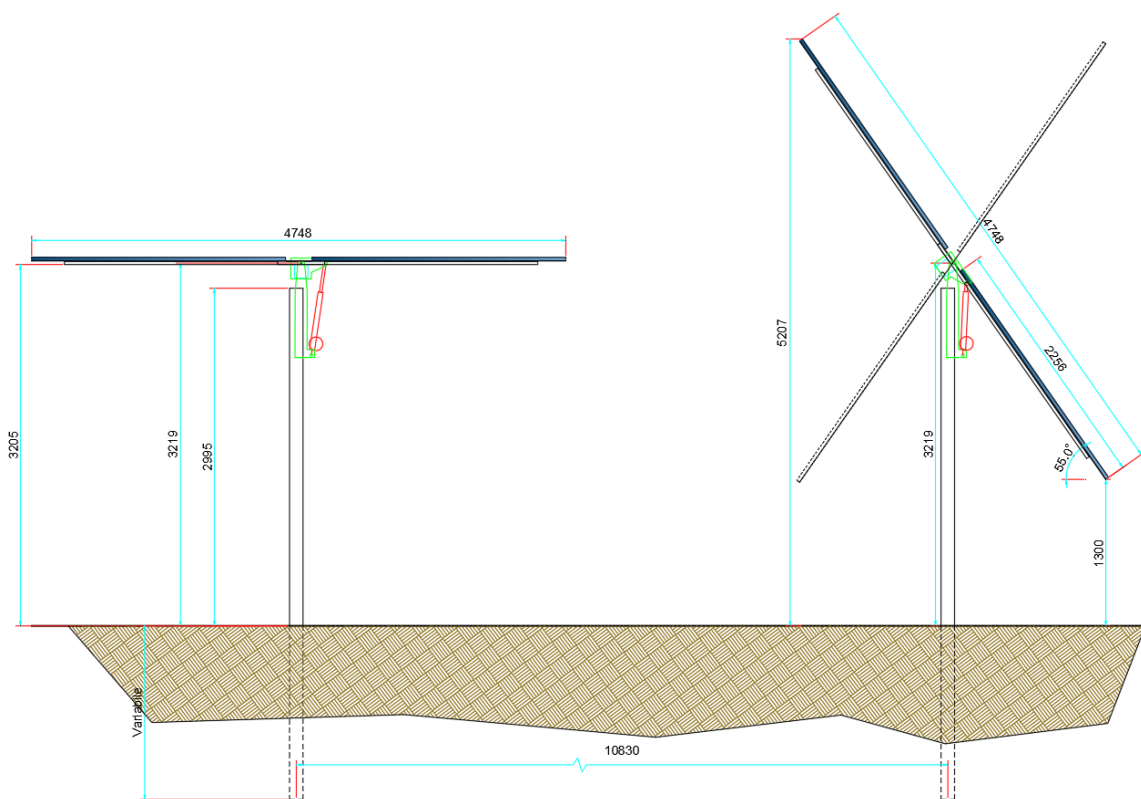


Figura 6 Vista laterale delle strutture di sostegno dei pannelli

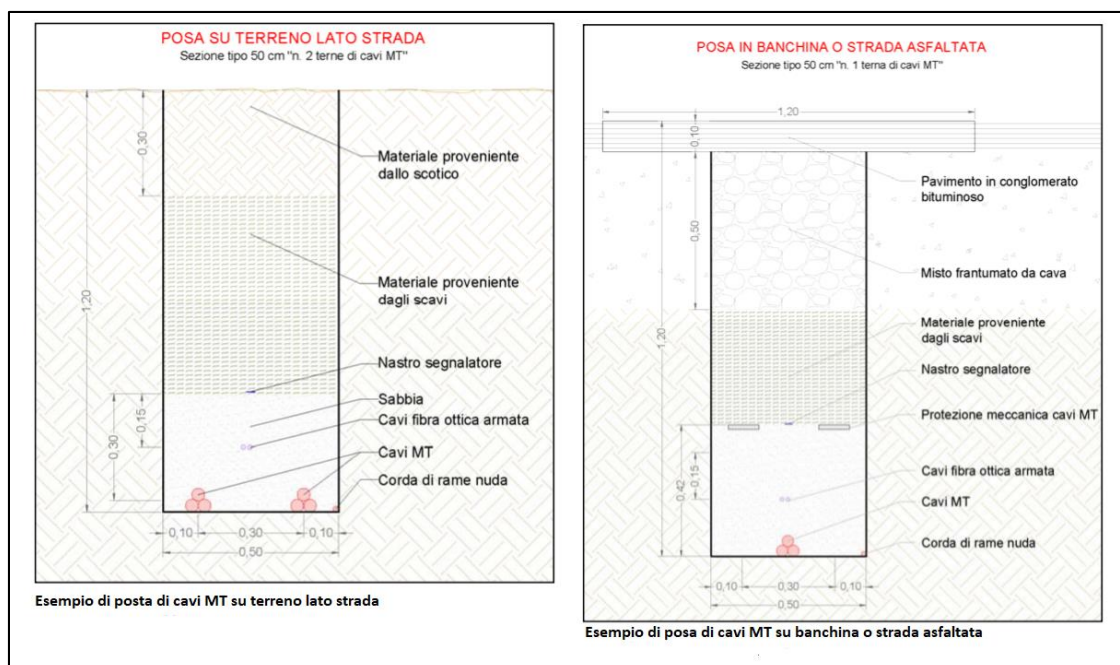


Figura 7 Sezioni tipo della trincea per la posa dei cavidotto

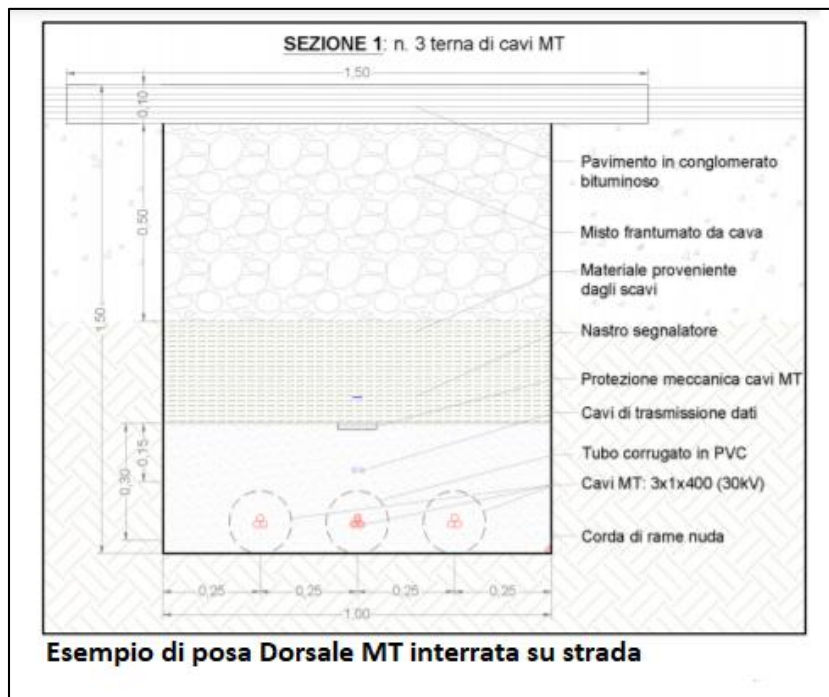


Figura 8 Sezioni tipo della trincea per la posa dei cavidotto

Per ulteriori specifiche si rimanda agli elaborati tecnici di progetto.

## 5. INQUADRAMENTO GEOLOGICO

L'obiettivo dell'analisi dell'assetto geologico è quella di caratterizzare geologicamente e geotecnicamente l'area ove verrà installato il parco fotovoltaico e quella geomorfologicamente significativa, con particolare riferimento alle condizioni del substrato di fondazione, agli scavi ed ai riporti necessari per la realizzazione del sistema di fondazione e delle sue potenziali interazioni con le condizioni al contorno (dinamica geomorfologica, circolazione idrica superficiale e sotterranea, rapporti fra le componenti litologiche interessate) attraverso:

- Definizione dell'assetto geologico-strutturale e idrogeologico di area vasta e dell'area geomorfologicamente significativa;
- Definizione dell'assetto stratigrafico dell'area di sedime delle opere;
- Definizione del modello geologico di sito;

### 5.1. DESCRIZIONE DEL CONTESTO GEOLOGICO DELL'AREA VASTA OGGETTO DI INTERVENTO

A partire dal Paleozoico si sono susseguiti una serie di eventi geologici sviluppatasi nell'arco di circa mezzo miliardo di anni, che hanno reso la Sardegna una delle regioni geografiche più antiche del Mediterraneo centrale e, morfologicamente e cronologicamente eterogenea.

L'isola riflette pertanto una storia geologica molto articolata, che testimonia, in maniera più o meno completa, alcuni dei grandi eventi geodinamici degli ultimi 400 milioni di anni.

L'orogenesi Caledoniana, la più antica, le cui tracce si rinvengono principalmente nel nord della Gran Bretagna e nella Scandinavia occidentale, fu causata dalla progressiva chiusura dell'oceano Giapeto, a seguito della collisione dei continenti Laurentia, Baltica e Avalonia, dando così origine al super continente Laurussia.

La successiva fase dell'orogenesi Hercinica (o Varisica) ha avuto corso a partire dal Carbonifero, circa 350 Ma fa e si è protratta fino al Permiano determinando un'estesa catena montuosa ubicata tra il Nord America e l'Europa.

Quest'orogenesi ha prodotto in Sardegna tre zone metamorfiche principali. Procedendo dal nucleo orogenetico verso l'avanfossa si trovano le zone dette: Assiale (Sardegna NE) – a Falde interne (Sardegna centrale) - a Falde esterne (Sardegna SW).

Successivamente, tra il Carbonifero Sup. e il Permiano Inf., avviene la messa in posto dei batoliti granitici tardo ercinici, questa ha prodotto metamorfismo termico e di alta pressione delle rocce esistenti.

L'area di studio ricade parzialmente nella zona a Falde Interne del basamento varisico sardo; ma comprende soprattutto rocce delle coperture mesozoiche, che in quest'area dell'Isola sono costituite da sedimenti alluvionali del Buntsandstein (Trias medio), su cui poggiano in trasgressione i sedimenti carbonatici di ambiente neritico (Muschelkalk) e poi quelli evaporitici (Keuper). Seguono le rocce della successione vulcano-sedimentaria Miocenica, e i depositi quaternari. Le Unità Tettoniche affioranti nel settore occidentale dell'area vasta sono costituite da originarie successioni sedimentarie e vulcaniche di età compresa tra il Cambriano e il Carbonifero inferiore, note come Unità di Canaglia, Li Trumbetti e Argentiera.

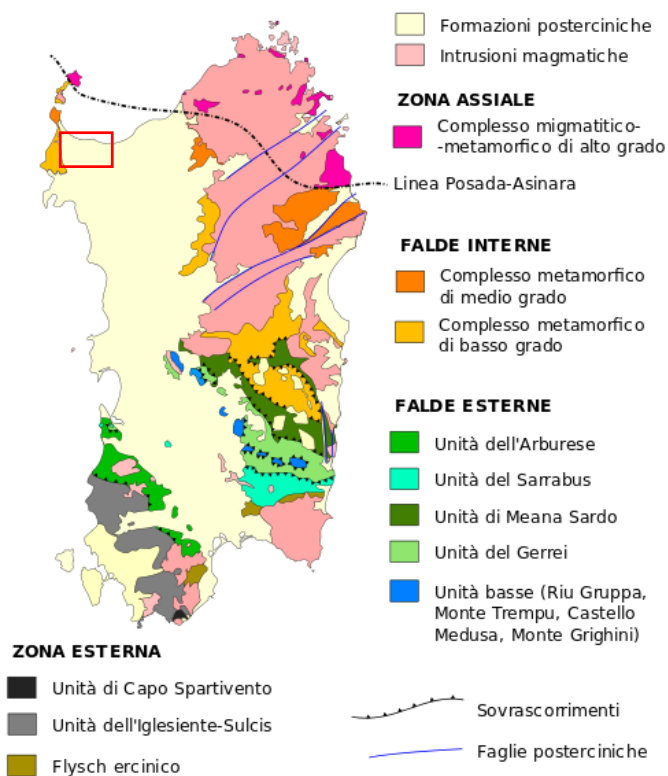


Figura 9 Schema tettonico-strutturale della Sardegna

Il settore di interesse all'installazione dell'impianto fotovoltaico si trova nella zona cosiddetta a Falde interne, caratterizzata da fenomeni di medio e basso metamorfismo, localizzata nell'area geografica della Nurra.

L'area vasta è costituita principalmente da unità di età paleozoica e mesozoica di origine sedimentaria, da rocce magmatiche a carattere effusivo, e da depositi recenti rappresentati dai prodotti di disfacimento della roccia madre e dei suoi derivati che vanno a colmare le vallecole e/o i piccoli impluvi presenti.



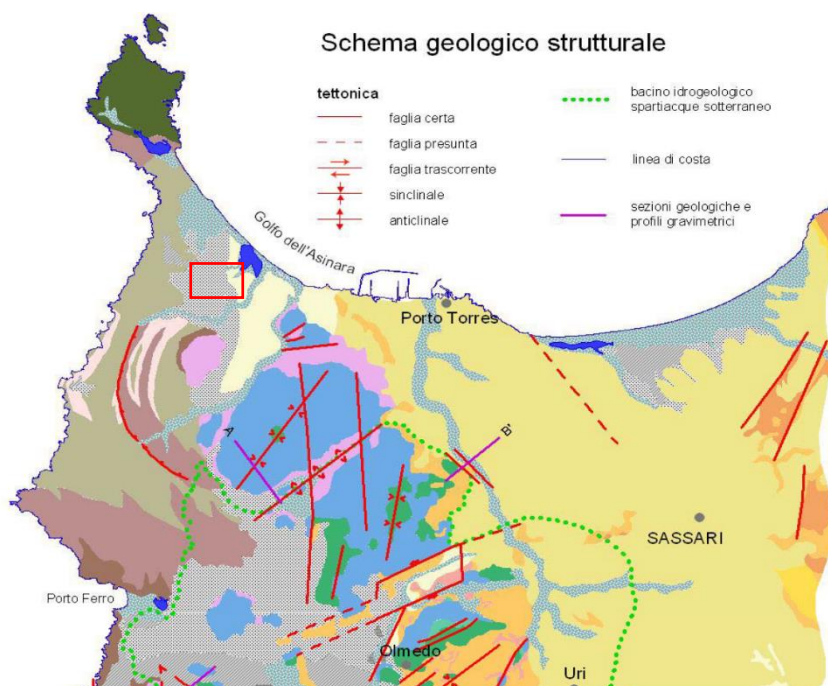


Figura 10 Schema Tettonico dell'area vasta di studio con l'area di dettaglio evidenziata in arancio (tratto da Ghiglieri et al 2006; 2009a)

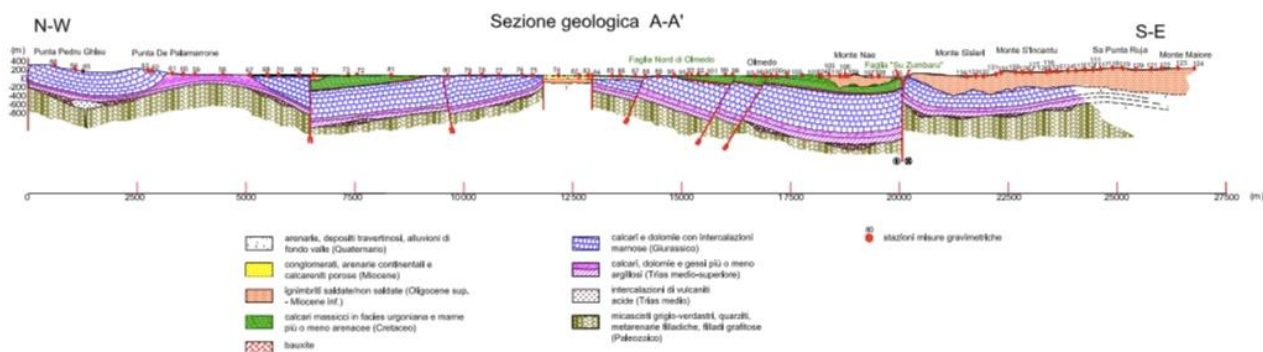


Figura 11 Sezione geologica rappresentativa dell'area vasta (tratto da Ghiglieri et al 2006; 2009a)

Per quanto riguarda l'assetto strutturale dell'area vasta, quest'ultima riflette essenzialmente eventi deformativi di età cenozoica ed in minor misura mesozoica. La tettonica varisca, che è polifasica ed è responsabile della strutturazione del basamento, ha rilevanza solo nel settore della Nurra occidentale.

La Nurra è costituita da un alto strutturale immergente verso est, che si è sviluppato nel Terziario, che confina ad E coi depositi del Miocene inferiore del semi-graben del bacino di Porto Torres.

Nella parte occidentale della Nurra affiora il basamento paleozoico in diverse unità strutturali impilate tettonicamente per via di alcuni sovrascorrimenti ercinici orientati circa NW-SE e E-W, che dalla più

profonda alla più superficiale si distinguono in Unità di Argentiera, Li Trumbetti e Canaglia. In quest'area, il basamento paleozoico è coperto in maniera discontinua dalla successione vulcano-sedimentaria del Permiano.

Le rocce mesozoiche della Nurra poggiano generalmente sui depositi continentali permo-triassici o direttamente sul basamento, e sono rappresentate da depositi di piattaforma carbonatica sottoposta ad oscillazioni eustatiche e a fasi tettoniche distensive, che hanno favorito l'ingressione dei mari epicontinentali alternati a fasi subaeree. Il controllo tettonico, attivo in vari intervalli cronostratigrafici, insieme al controllo eustatico, ha condizionato l'evoluzione sedimentaria della piattaforma. Infatti, la successione mesozoica presenta un tipico aspetto a "duomi e bacini" dovuto alla sovrapposizione di due sistemi di pieghe che hanno interessato la piattaforma carbonatica mesozoica prima durante il Cretaceo medio (pieghe e sovrascorrimenti orientati NW-SE), e poi nel Cretaceo superiore (piegamenti orientati NE-SW).

La successione mesozoica è rappresentata da una sequenza di calcari, dolomiti e marne e depositi evaporitici il cui spessore può superare i 700 m.

In particolare, nell'area vasta affiorano le seguenti litologie, di seguito riportate con la nomenclatura adottata dalla RAS nella stesura della cartografia geologica in scala 1:25000:

**h1m** – Depositi antropici, discariche minerarie. OLOCENE

**bb** - Depositi alluvionali, sabbie con subordinati limi e argille. OLOCENE

**b2** - Coltri eluvio-colluviali. Detriti immersi in matrice fine, talora con intercalazioni di suoli più o meno evoluti, arricchiti in frazione organica. OLOCENE

**b** - Depositi alluvionali. OLOCENE

**a** – Depositi di versante, detriti con clasti angolosi, talora parzialmente cementati. OLOCENE

**PVM2a** - Litofacies nel Subsistema di Portoscuso (SINTEMA DI PORTOVESME). Ghiaie alluvionali terrazzate da medie a grossolane, con subordinate sabbie. PLEISTOCENE SUP.

**FUA - FORMAZIONE DI FIUME SANTO. Argille arrossate con livelli e lenti di conglomerati a ciottoli di basamento paleozoico, vulcaniti e calcari mesozoici. Ambiente fluviale. TORTONIANO-MESSINIANO.** Questa formazione affiora nell'area di impianto.

**RESb** - Litofacies nella FORMAZIONE DI MORES. Arenarie e conglomerati a cemento carbonatico, fossiliferi e bioturbati. Intercalazioni di depositi sabbioso-arenacei quarzoso-feldspatici a grana medio-grossa, localmente ricchi in ossidi di ferro (Ardara-Mores). MIOCENE INFERIORE (BURDIGALIANO)

**MUC** - FORMAZIONE DI MONTE UCCARI (cfr. Formazione di Punta Cristallo IST). Calcari micritici e bioclastici grigio biancastri ben stratificati; dolomie grigiastre e lenti di calcare oolitico con ciottoli a carofite. MALM

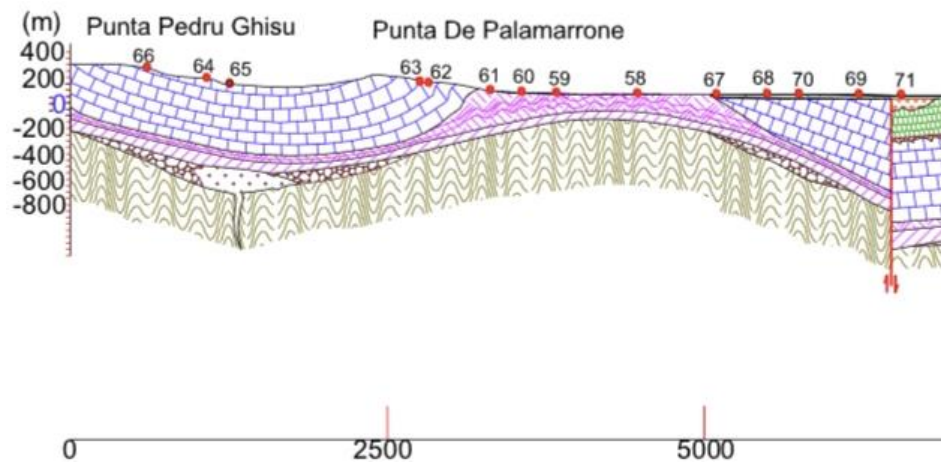


Figura 12 Particolare della sezione geologica con dettaglio dell'area in studio

**NRRa** - Litofacies nella FORMAZIONE DI MONTE NURRA (cfr. Formazione di Gamba di Moro GDMa). Intercalazioni di arenarie quarzose. DOGGER

**NRR** - FORMAZIONE DI MONTE NURRA (cfr. Formazione di Gamba di Moro GDM) Dolomie e calcari dolomitici, calcari bioclastici, calcari selciferi, calcari marnosi e marne, con intercalazioni di arenarie quarzose. Alla base calcari e dolomie scure di ambiente lacustre a carofite. DOGGER

**NDD** - FORMAZIONE DI CAMPANEDDA (cfr. Formazione di Monte Zirra ZRR). Calcari oolitici, oncolitici e bioclastici, marne e calcari marnosi; calcari grigio-bluastri con lenti di selce. LIAS

**KEU** - KEUPER AUCT. Marne grigio-giallognole con subordinati calcari marnosi; argille varicolori gessifere. TRIAS SUP. (LONGOBARDICO SUP. - PRETICO)

**MUK** - MUSCHELKALK AUCT. Calcari laminati sottilmente stratificati e calcari dolomitici in grossi strati. TRIASSICO MEDIO (LADINICO)

**BUN** - BUNTSANDSTEIN AUCT. Alternanza di arenarie, argilliti, siltiti, livelli marnosi con gesso e conglomerati poligenici alla base ("Verrucano" sensu Gasperi & Gelmini, 1979). TRIASSICO MEDIO (ANISICO)

**LIR** - FORMAZIONE DI LI CORTI. Metargilliti nere. SILURIANO

**PDL** - FORMAZIONE DI PALMADULA. Metargilliti laminate e metapeliti nere. ORDOVICIANO SUP. - SILURIANO

**FTE** - FORMAZIONE DI MONTE FORTE. Metarenarie e quarziti. CAMBRIANO - ORDOVICIANO INF.

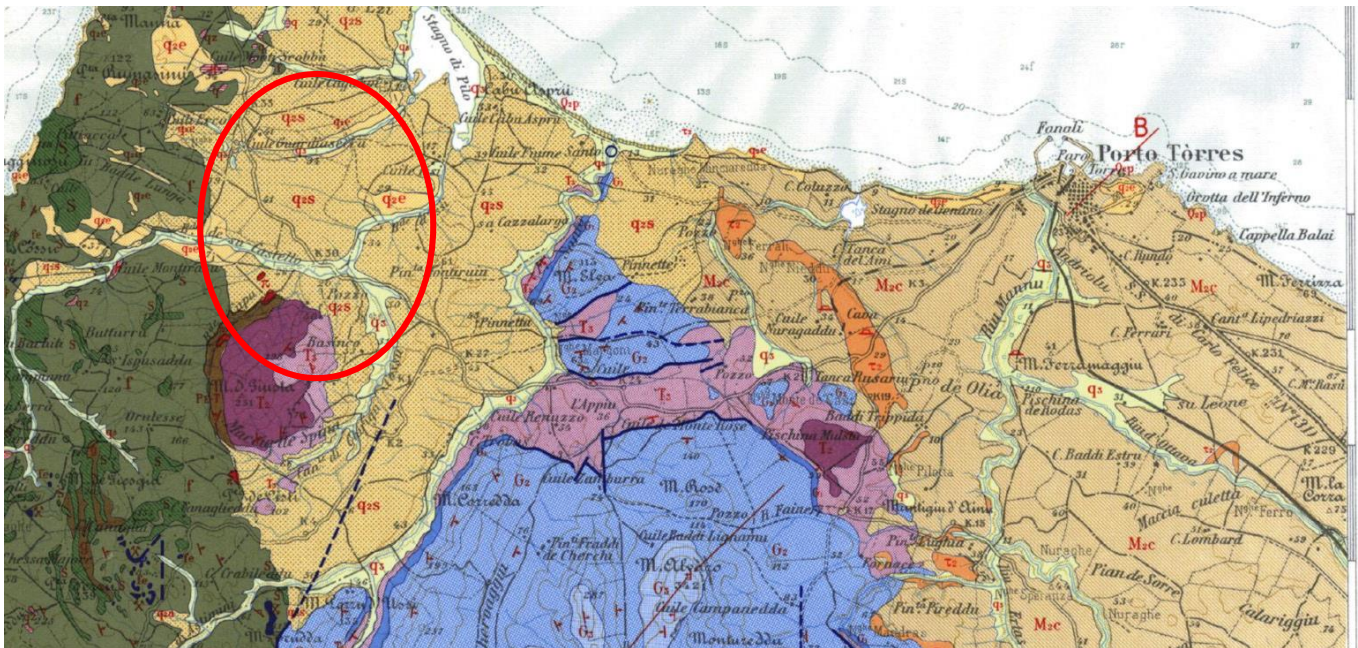


Figura 13 Stralcio Carta Geologica d'Italia scala 1:100.000 foglio 179 "Porto Torres"

### 5.1. UNITÀ TETTONICA DELL'ARGENTIERA

In quest'unità tettonica, che rappresenta la più profonda, affiorano rocce attribuite al Paleozoico inferiore:

(PDL) Formazione di Palmadula – Metargilliti laminate e metapeliti nere. L'età attribuita a tali rocce è Ordoviciano superiore - Siluriano.

(FTE) Formazione di Monte Forte – Metarenarie e quarziti. Cambriano – Ordoviciano inferiore.

### 5.2. UNITÀ TETTONICA DI CANAGLIA

In quest'unità tettonica, che rappresenta la più profonda, affiorano rocce attribuite al Paleozoico inferiore:

(LIR) Formazione Di Li Corti. Metargilliti nere. Siluriano

### 5.3. SUCCESSIONE SEDIMENTARIA MESOZOICA

Le rocce della successione mesozoica sono deformate da una tettonica con tipico stile di copertura. La parte più bassa della successione, presenta rocce con caratteri di sedimentazione prevalentemente terrigena (Triassico), che evolve a piattaforma carbonatica (Giurassico). Vengono descritte quelle affioranti nell'area di interesse, a partire dalla più recente fino alla più antica.

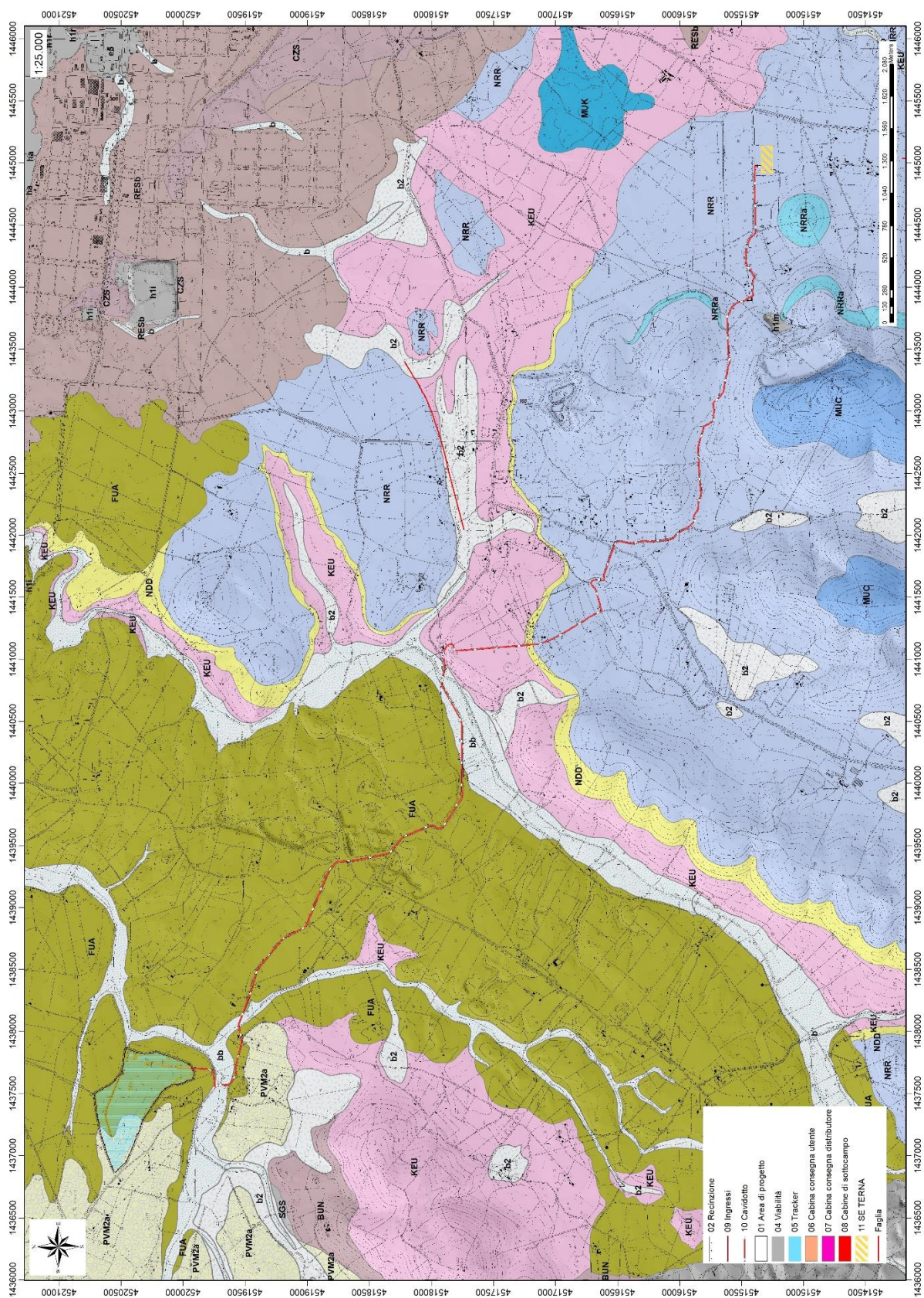


Figura 14 Stralcio della Carta Geologica dell'area di interesse

**MUC** - Formazione di Monte Uccari (cfr. Formazione Punta Cristallo IST). E' costituita da calcari micritici e bioclastici grigio biancastri ben stratificati; dolomie grigiastre e lenti di calcare oolitico con ciottoli a carofite. La successione, di potenza di un centinaio di metri, viene riferita al Giurassico superiore (MALM) per via della ricca associazione di alghe dasycladacee.

**NRRa** - Litofacies nella Formazione di Monte Nurra (cfr Formazione Gamba di Moro GDMa). Intercalazioni di arenarie quarzose e siltiti arenacee. DOGGER

**NRR** - Formazione di Monte Nurra (cfr Formazione Gamba di Moro GDM). La successione, potente fino a 150-200m, è costituita da dolomie e calcari dolomitici, calcari bioclastici, calcari selciferi, calcari marnosi e marne, con intercalazioni di arenarie quarzose. Alla base calcari e dolomie scure di ambiente lacustre a carofite. La ricca fauna a spugne, coralli ermatipici, lamellibranchi, gasteropodi, brachiopodi, echinodermi e briozoi ha permesso di collocare la successione nel Giurassico medio (DOGGER). Questa formazione caratterizza l'area della sottostazione.

**NDD** - Formazione di Campanedda (cfr. Fm. Monte Zirra ZRR). Affiora presso la località omonima con una successione di spessore variabile tra 10-15m che sormonta il sottostante Keuper. La successione è costituita da calcari oolitici, oncolitici e bioclastici, marne e calcari marnosi; calcari grigio-bluastri con lenti di selce. Il ricco contenuto fossilifero a foraminiferi, coralli, gasteropodi, brachiopodi, ammoniti ed echinidi permette di attribuire la successione al Giurassico inferiore (LIAS).



Figura 15 Calcari della Formazione di Monte Nurra.

**KEU** - Keuper AUCT. La successione, di spessore valutabile in 40-50 m, presenta due litofacies non sempre affioranti costituite da marne grigio-giallognole con subordinati calcari marnosi; argille varicolori gessifere. TRIAS SUP. (LONGOBARDICO SUP. - PRETICO) Questa formazione caratterizza l'area di impianto.



Figura 16 Calcare oolitico della Formazione di Campanedda.

**MUK** - Muschelkalk AUCT. La successione, spesso non oltre 10-15m, è costituita da calcari laminati sottilmente stratificati e calcari dolomitici in grossi banchi. Si possono individuare quattro livelli che, dalla base verso il tetto, sono costituiti da marne dolomitiche nodulari giallastre e dolomie grigie laminate e attraversate da bioturbazioni, seguite da calcari marnosi e livelli argillosi, e da calcari bioclastici, per terminare con calcari intercalati a livelli di dasycladacee e foraminiferi. Viene attribuita al Ladinico per la presenza di alcuni conodonti, sebbene siano presenti alghe, coralli, foraminiferi, bivalvi, brachiopodi, crinoidi, e ammoniti. TRIASSICO MEDIO (LADINICO)

**BUN** - Buntsandstein AUCT. Alternanza di arenarie, argilliti, siltiti, livelli marnosi con gesso e conglomerati poligenici alla base ("Verrucano" sensu Gasperi & Gelmini, 1979). TRIASSICO MEDIO (ANISICO)

#### 5.4. SUCCESSIONE SEDIMENTARIA MIOCENICA

La successione sedimentaria miocenica è caratterizzata dalla presenza di sequenze deposizionali delimitate da discordanze: la prima sequenza è costituita da depositi continentali fluviali e di piana alluvionale, deltizi marini e di piattaforma, mentre la seconda sequenza è costituita da depositi fluvio-marini e carbonatici di piattaforma.

**FUA** - Formazione di Fiume Santo. Argille arrossate con livelli e lenti di conglomerati a ciottoli di basamento paleozoico, vulcaniti e calcari mesozoici. Ambiente fluviale. TORTONIANO-MESSINIANO

## 5.5. DEPOSITI QUATERNARI DELL'AREA CONTINENTALE

I depositi quaternari cartografati nell'area di studio sono generalmente poco rilevanti; sono rappresentati principalmente da depositi di versante, coltri eluvio-colluviali e depositi alluvionali. Vengono descritti dal più antico al più recente.

**PVM2a - Litofacies nel Subsistema di Portoscuso (SINTEMA DI PORTOVESME).** Ghiaie alluvionali terrazzate da medie a grossolane, con subordinate sabbie, e elementi subangolosi e subarrotondati di vulcaniti terziarie, calcari mesozoici, quarzo e metamorfiti paleozoiche. Poggiano sul substrato pre-Quaternario costituito dai calcari e dolomie mesozoici, formando talora dei terrazzi alluvionali sospesi di qualche metro di altezza. Alla base affiorano ghiaie medio-fini con stratificazione incrociata concava che riempiono canali poco profondi, alternate a limi argillosi pedogenizzati, cui seguono ghiaie a stratificazione concava, e sabbie eoliche. L'età dei depositi, che presentano circa 5m di spessore, è attribuita al PLEISTOCENE SUP. Questa formazione affiora nell'area di impianto.

**(bnb)** Depositi alluvionali terrazzati: si tratta di depositi prevalentemente sabbiosi (bnb), di spessore non superiore di 4-5 m, di ambiente di conoide o piana alluvionale e situati in prossimità dei corsi d'acqua. Olocene.

**(a)** Depositi di versante: sono costituiti da detriti spigolosi e a varia granulometria accumulati essenzialmente per gravità alla base dei versanti rocciosi più ripidi. Sono depositi in genere monogenici ed eterometrici, con clasti spigolosi o scarsamente elaborati ed una notevole matrice fine. Gli affioramenti più estesi si rinvengono alla base dei versanti, oppure in corrispondenza dei compluvi dove formano delle fale di detrito piuttosto estese. Lo spessore di questi depositi, che generalmente non sono cementati e sono fissati da vegetazione, solitamente è variabile nell'ordine massimo di qualche metro alla base dei versanti e nei compluvi. Olocene.

**(b2)** Coltri eluvio-colluviali: Si tratta di materiali derivati dal disfacimento in situ delle rocce in seguito mobilizzate da processi di versante, costituiti da depositi con percentuali variabili di sedimenti fini (sabbia e silt) più o meno pedogenizzati e arricchiti in frazione organica, con clasti eterometrici di varia litologia. Lo spessore di questi depositi solitamente è abbastanza esiguo (nell'ordine massimo di qualche metro in prossimità dei compluvi). Olocene.

**(b)** Depositi alluvionali: si tratta di depositi di spessore modesto (compreso tra qualche metro e 15m lungo il Riu Mannu), costituiti da materiale sabbiosi, limosi o ghiaiosi depositati lungo i corsi d'acqua.

**(bb)** Depositi alluvionali: si tratta di sedimenti fini, costituiti da sabbie con rare ghiaie.

**(h1m)** Depositi antropici: si tratta di depositi imputabili ad attività antropica, ascrivibili a discariche minerarie derivanti dall'attività estrattiva di materiali quali sabbie silicee, ghiaie e rocce calcaree. I depositi sono costituiti da materiali litoidi più o meno grossolani e formano cumuli di modesta estensione con spessore massimo di 15-20m.





Figura 17 Coltri eluvio-colluviali.

## 6. CARATTERI GEOSTRUTTURALI, GEOMETRIA E CARATTERISTICHE DELLE SUPERFICI DI DISCONTINUITÀ

I principali lineamenti strutturali, nell'area vasta, derivano dall'evoluzione stratigrafica e tettonica oligo-miocenica, responsabile dello sviluppo dei bacini del Logudoro e di Porto Torres e dell'intenso vulcanismo calcalalino.

L'area di studio è caratterizzata dall'affioramento delle coperture terziarie oligo-mioceniche, costituite da argille arrossate con livelli e lenti di conglomerati a ciottoli di basamento paleozoico, vulcaniti e calcari mesozoici di ambiente fluviale e da ghiaie alluvionali terrazzate da medie a grossolane, con subordinate sabbie. I depositi quaternari sono principalmente costituiti da coltri eluvio-colluviali di spessore molto modesto e depositi di versante.

Non sono evidenti tracce di lineazioni tettoniche evidentemente oblitrate dalle coperture recenti.

## 7. INQUADRAMENTO GEOMORFOLOGICO

L'impianto agrovoltico verrà posizionato a nord del complesso calcareo del Monte Santa Giusta (251m), in località Lunestas.

L'area vasta del settore in studio presenta delle morfologie tipiche di calcari duri e cristallini del mesozoico, stratificati e con forme accidentate che vanno da aspre a sub-pianeggianti, spesso con piani di inclinazione orientati, variamente fratturati ed erosi.

Il territorio indagato è costituito sostanzialmente da una zona collinare, con rilievi arrotondati e dislivelli dell'ordine di 200 m circa tra monte e valle.

I prodotti di erosione sia della prima fase che della seconda e attuale vengono trasportati dall'acqua e dal vento e si depositano in relazione alla loro dimensione e all'energia di trasporto delle acque lungo le pendici dei versanti e nelle valli andando a costituire le coperture sedimentarie.

Le morfologie osservabili in quest'area sono strettamente connesse alle caratteristiche di messa in posto delle litologie e dalle caratteristiche fisico-chimiche delle litologie presenti e dalla tipologia ed intensità degli agenti modellanti predominanti, in particolare il carsismo.

Il carsismo si sviluppa principalmente a seguito della dissoluzione chimica delle rocce carbonatiche.



Figura 18 paesaggio dell'area di studio

Il processo carsico rientra nel grande insieme delle azioni di disgregazione compiute dagli agenti esogeni a spese delle rocce affioranti sulla crosta terrestre. La corrosione avviene per opera delle acque meteoriche che, oltre a contenere una certa quantità di anidride carbonica atmosferica disciolta al loro interno, scorrendo sulla superficie del suolo ed attraversando lo strato superficiale del suolo si arricchiscono ulteriormente di CO<sub>2</sub>. Queste acque reagiscono con la roccia calcarea intaccandola lentamente, sia in superficie sia infiltrandosi nel reticolo, fino a dar luogo nell'arco del tempo a veri e propri condotti di dimensioni variabili, che costituiscono i classici acquiferi tipici delle rocce carbonatiche.

Il paesaggio carsico è caratterizzato da forme superficiali o epigee e da forme sotterranee o ipogee. Le forme epigee possono avere dimensioni molto diverse, comprese fra pochi millimetri e parecchi chilometri. I paesaggi carsici sono caratterizzati da aridità, dalla mancanza di idrografia superficiale, dalla presenza di conche di assorbimento (doline), inghiottitoi, e pozzi, da valli incise con pareti ripide (forre), da conche chiuse di grandi dimensioni (polje) con **depositi alluvionali ed eluviali (residui insolubili dell'erosione carsica**

- **terre rosse**), e da forme carsiche tipiche come i Karren (campi carreggiati), i Lapiez (scannellature), solchi (docce), vaschette di corrosione, fori carsici, crepacci e lame.

### 7.1. ANALISI DELL'AREA GEOMORFOLOGICAMENTE SIGNIFICATIVA AL PROGETTO

L'area geomorfologicamente significativa per le azioni di progetto è quell'area in cui si esplicano tutti i processi geomorfici, il cui effetto può generare interazioni con le dinamiche ambientali. Pertanto la stessa, nello specifico, si individua nei versanti e nei sub-bacini idrografici presenti che interferiscono con l'opera.

La geomorfologia di quest'area è fortemente interessata dall'azione geochimica e fisica che l'acqua esercita sui calcari marnosi e delle marne triassiche della formazione denominata KEUPER, la quale, assieme al clima locale caratterizzato dall'imponenza del maestrale e alle importanti escursioni termiche giornaliere, ha smussato e modellato il territorio conferendogli forme dolci e valli da fondo prevalentemente piatto.



Figura 19 Caratteri geomorfologici dell'area vasta e significativa

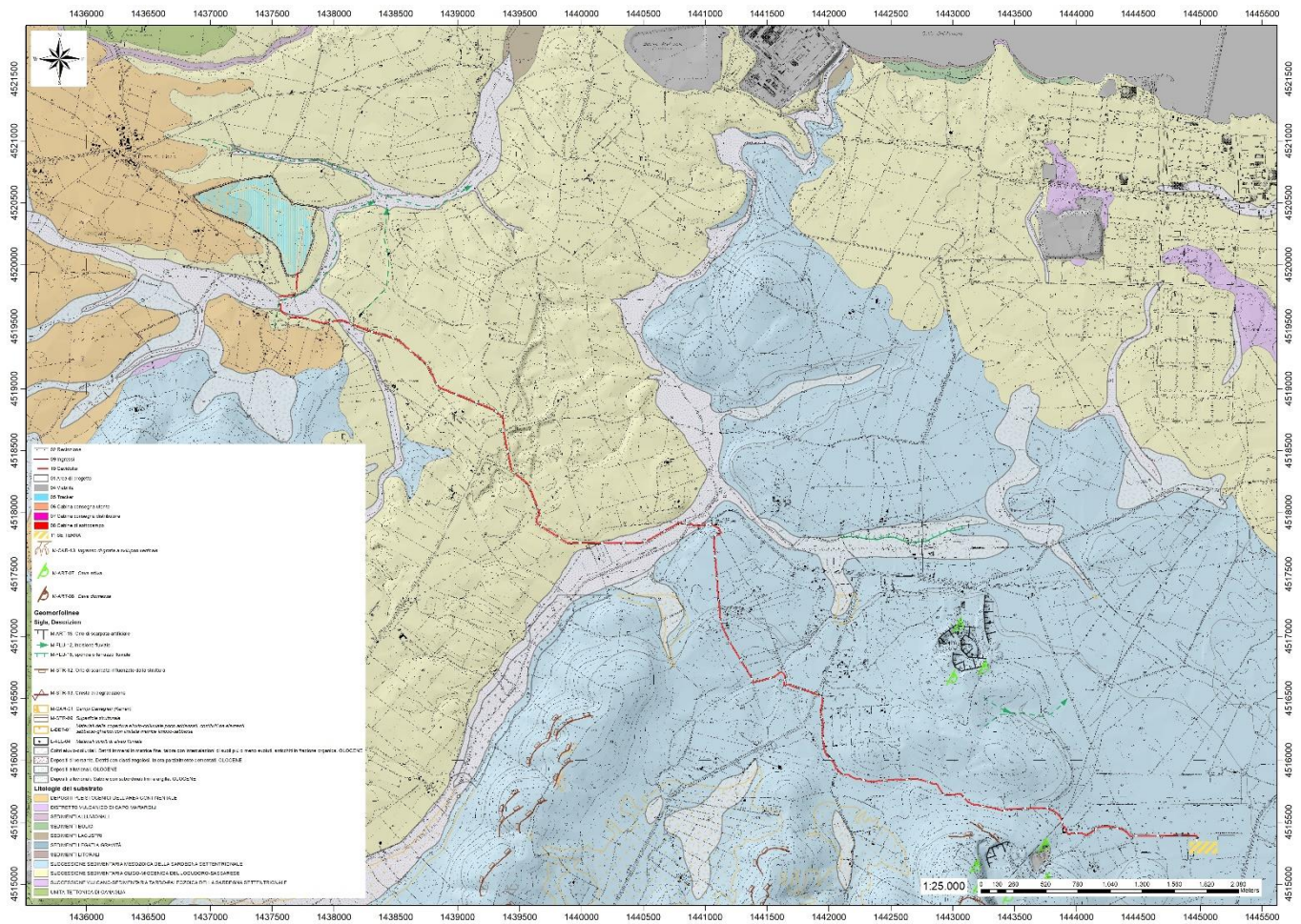


Figura 20 Carta geomorfologica dell'area di progetto

## 8. INQUADRAMENTO CLIMATICO

La definizione del clima è basata sull'analisi dei parametri meteorologici più comunemente studiati, quali la temperatura e le precipitazioni, il cui andamento è legato alle variazioni stagionali della circolazione atmosferica, considerando inoltre la ventosità, la nuvolosità e l'umidità relativa. Il clima della Sardegna viene generalmente classificato come "Mediterraneo Interno", caratterizzato da inverni miti e relativamente piovosi ed estati secche e calde, con valori minimi invernali di alcuni gradi al di sotto dello zero e massimi estivi anche superiori ai +40 C.

Lungo le zone costiere, grazie alla presenza del mare, si hanno inverni miti con temperature che scendono raramente sotto lo zero. Anche nelle zone interne pianeggianti e collinari il clima è tipicamente mediterraneo, anche se a causa della maggior lontananza dal mare si registrano temperature invernali più basse ed estive più alte rispetto alle aree costiere.

Nelle zone più interne, come gli altopiani e le vallate spesso incastonate tra i rilievi, il clima acquista caratteri continentali con forti escursioni termiche, risultando particolarmente basse le minime invernali in caso di inversione termica, con temperature che possono scendere anche al di sotto dei -10/-12 C. Sui massicci montuosi nei mesi invernali nevicata frequentemente e le temperature scendono sotto lo zero, mentre nella stagione estiva il clima si mantiene fresco, soprattutto durante le ore notturne, e raramente fa caldo per molti giorni consecutivi.

La Sardegna inoltre è una regione molto ventosa; i venti dominanti sono quelli provenienti dal settore occidentale (Maestrale e Ponente) e, in minor misura quelli provenienti da quello meridionale (Scirocco).

Le precipitazioni sono distribuite in maniera variabile ed irregolare, con medie comprese tra i 400 e i 600 mm annui lungo le coste e valori pluviometrici che raggiungono e superano i 1000 mm annui (con locali picchi superiori ai 1300-1400 mm) in prossimità dei rilievi montuosi.

A causa del dominio sulla regione dei venti provenienti dai quadranti occidentali, mediamente la maggior frequenza di giorni di pioggia si riscontra nelle zone occidentali dell'isola, mentre in quelle orientali, trovandosi sottovento a questo tipo di circolazione a causa dell'orografia, si ha una minore frequenza di giornate piovose.

Tuttavia, le zone orientali sono spesso soggette a fortissime piogge, per cui gli accumuli medi annuali sono simili tra i due versanti.

L'andamento climatico del territorio di Sassari e le risorse idriche disponibili sono stati valutati sulla base dei dati forniti dalle stazioni meteorologiche dell'ARPAS presenti nel territorio comunale di Sassari e Fertilia, localizzate rispettivamente circa 22 km e 15 km a SE e SW del settore in esame.

L'andamento pluviometrico dell'area oggetto di studio (fig.22) è stato ricavato dai dati pluviometrici relativi all'intervallo 2008-2018 estratti dagli Annali Idrologici dell'ARPAS reperibili dal Geoportale della R.A.S., così come i dati termometrici, entrambi per le stazioni meteorologiche di Sassari e Fertilia.

Periodo	Gen	Feb	Mar	Apr	Mag	Giu	Lug	Ago	Set	Ott	Nov	Dic	Totale annuale
2018	32,4	101,2	114,2	26,4	199	34,2	0	42,6	31	83,6	155	47	866,6
2017	77,8	62	17,8	23	3,2	33,2	0,4	0	52,4	6,6	81,4	124,6	482,4
2016	58	160	71,4	20	24	3,4	37,4	0,2	52	8	106,4	34,4	575,2
2015	37,8	151,2	57,8	50,2	14	21	0,2	21,6	25,6	114,2	50,6	8,6	552,8
2014	141	95,4	77,6	35,4	33	34,2	14,6	3,4	2	2,6	118,6	76,2	634
2013	202	128,4	137,8	68,4	83,2	1,8	0,2	8,8	31,2	37,4	134,2	29,8	863,2
2012	35,6	56,4	11,8	61,8	125,8	0,8	1,2	0,6	51,6	104,8	109,4	36,4	596,2
2011	105	94,2	32,2	34,2	2	29,6	13,6	0	19,8	11	114,6	62,2	520,9
2010	96,6	61,8	71,6	43,4	62,4	62	0,8	1,4	2,6	64,6	247	126	840,2
2009	104	23,8	37	70,8	6	34,8	0	0,2	101,8	62	107	123,6	671
2008	56,6	18,4	52,4	15,8	109,6	21,8	0,2	0,2	44,6	77,2	131	84,4	612,2

Figura 21 Andamento pluviometrico dell'area vasta (espresso in mm) ricavato dalle stazioni pluviometriche di Sassari e di Fertilia (anno 2011).

Per quanto riguarda i dati sull'evapotraspirazione, sono stati utilizzati i valori pubblicati dal Dipartimento Specialistico Regionale Idroclimatico (I.M.C.) dell'ARPAS.

Alla stazione di Fertilia (Alghero) sono riferiti i dati sulla nuvolosità, umidità relativa e ventosità, estrapolati rispettivamente dagli archivi del Servizio Meteo dell'Aeronautica Militare per il periodo 1961-1990 (nuvolosità) e per il periodo 1971-2000 (umidità relativa e ventosità).

### 8.1. PRECIPITAZIONI

Nella Fig. 22 sono esposti i dati relativi alle precipitazioni nell'intervallo 2008-2018 registrati nella stazione di Sassari e Fertilia (unicamente per l'anno 2011). Viene riportato il valore medio mensile e il totale annuale di precipitazioni (espresso in mm) nei periodi considerati. Per il periodo 2008-2018 si osserva che i valori di precipitazioni presentano valori inferiori nei mesi autunnali e invernali, e superiori per il periodo compreso tra maggio e agosto.

Nell'area studiata, la piovosità media annuale è pari a circa 663 mm per il periodo compreso tra il 2008 e il 2018.

L'andamento pluviometrico dell'area di Sassari nell'arco dell'anno è caratterizzato dal minimo assoluto di piovosità nel periodo estivo e da un massimo in autunno e inverno, per cui i mesi più secchi sono quelli estivi mentre quelli più piovosi sono quelli invernali.

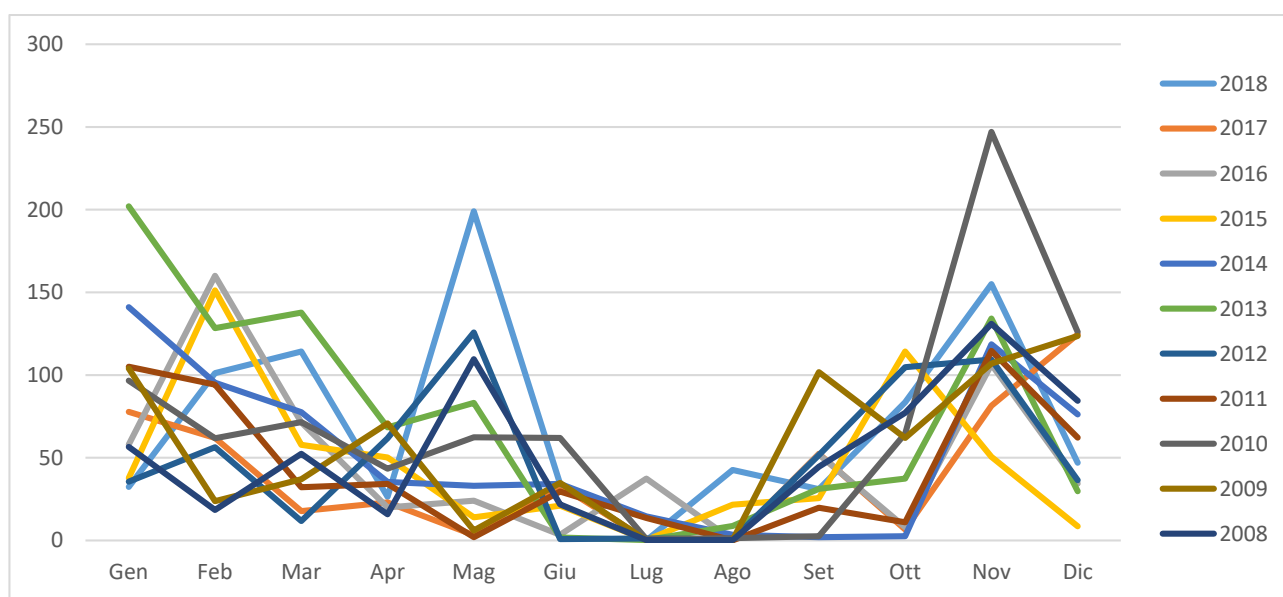


Figura 22 Andamento della pluviometria mensile e annuale (nell'asse delle ordinate, in mm) per le stazioni di Sassari (e Fertilia per il solo 2011) nel periodo 2008-2018.

## 8.2. TEMPERATURE

I valori termometrici della stazione meteo di Sassari, ricavati dal Dipartimento Specialistico Regionale Idroclimatico (I.M.C.) dell'ARPAS, sono illustrati in fig.23 e sono relativi alla stazione di Sassari per gli anni dal 2012 al 2018, e alla stazione di Fertilia per l'intervallo 1995-2011. La temperatura media annua, calcolata con i valori medi mensili per il periodo 1995-2018, è di circa 17 °C. Il mese più freddo è Febbraio con una media di circa 8,5°C, mentre le temperature più elevate si riscontrano a Luglio e Agosto con circa 25 °C.

Periodo	Gen	Feb	Mar	Apr	Mag	Giu	Lug	Ago	Set	Ott	Nov	Dic
<b>2018</b>	10,8	7,2	10,5	15,8	16,8	21,6	25,5	25,6	22,3	18,1	13,3	10,3
<b>2017</b>	7,3	10,9	12,1	13,8	18,8	24,2	25,7	27,5	19,5	17,6	11,5	8,2
<b>2016</b>	9,6	10,3	10,7	15,1	16,8	21,4	25	24,2	21,8	17,9	13,5	11,1
<b>2015</b>	8,4	7,6	10,3	13,5	18	22,6	26,5	24,7	21,1	16,5	13,3	11
<b>2014</b>	9,3	9,7	10,4	13,7	16,2	22,2	22,6	23,6	22,2	19,7	15,2	9,7
<b>2013</b>	8	6,3	10,5	13,6	14,8	19,6	25	24,7	20,8	19,8	11,4	9,9
<b>2012</b>	8,5	5,4	12	13,3	16,7	23,6	24,8	26,9	21	17,6	13,8	9,1
<b>1995-2011</b>	10	10,4	12,5	15,2	19,4	22,9	25,7	25,8	22,5	19,2	14,6	11,3

Figura 23 Temperature mensili (in °C) registrate nella stazione di Sassari negli anni dal 2018 al 2012, e presso la stazione di Fertilia per il periodo 1995-2011.

Nel grafico di fig.24 è illustrato l'andamento delle temperature medie mensili per il periodo 1995-2011 registrate nella stazione di Fertilia, e per gli anni dal 2012 al 2018, relativamente alla stazione di Sassari.

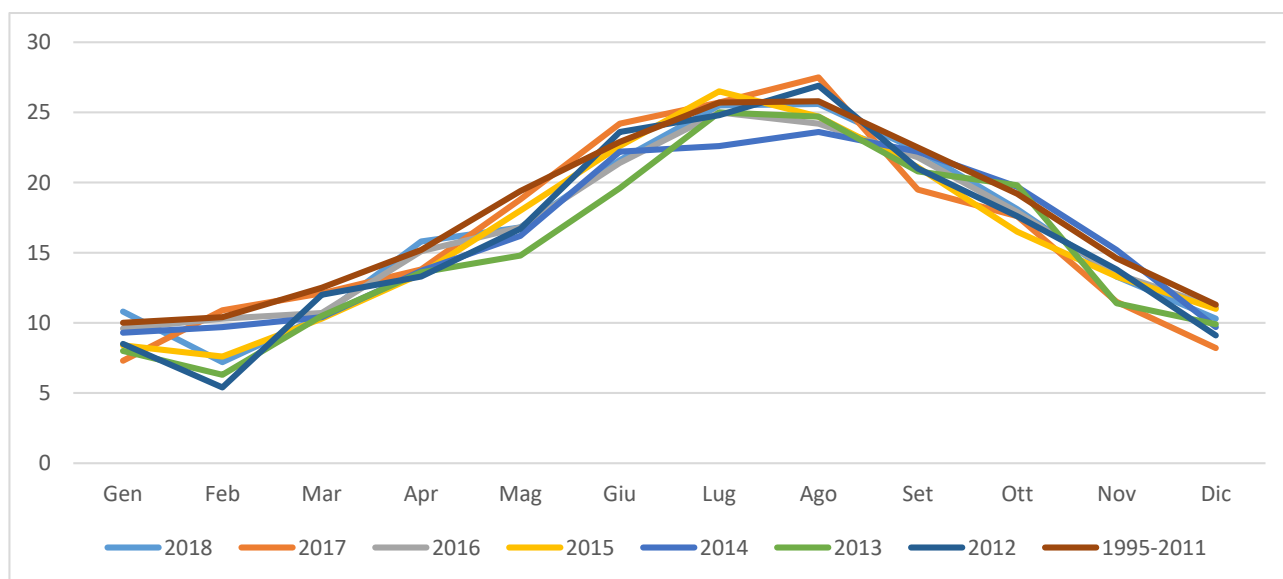


Figura 24 Temperature mensili (in °C, nell'asse delle ordinate) registrata nella stazione di Sassari per gli anni 2012-2018, e nella stazione di Fertilia per il periodo 1995-2011.

### 8.3. STIMA DELL'EVAPOTRASPIRAZIONE

L' evapotraspirazione è uno dei parametri più significativi nell'ambito di un bilancio idrologico e rappresenta la perdita di una parte delle acque di precipitazione, per evaporazione dal suolo e per traspirazione della vegetazione. Viene calcolata tenendo conto della temperatura e delle precipitazioni, e viene influenzata dalla nuvolosità, dall'umidità relativa e dalla ventosità. Nel grafico di Figura 25 è illustrata l'evapotraspirazione per la zona di interesse ricavata dai dati reperibili sul WebGIS dell'ARPAS.

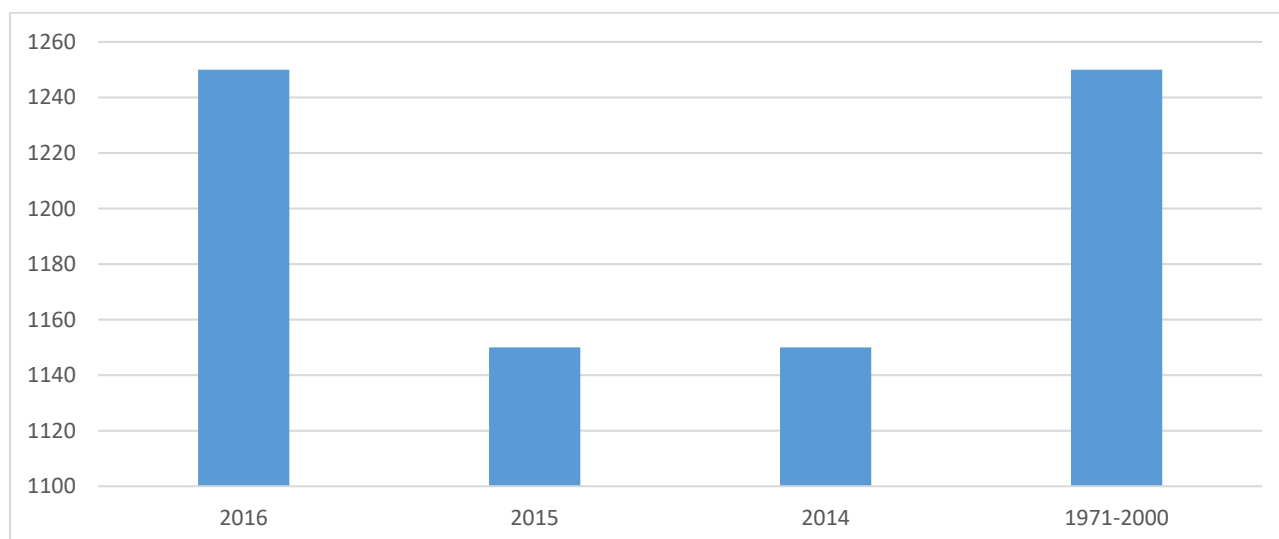


Figura 25 Evapotraspirazione (espressa in mm) per la zona di Sassari.



La nuvolosità influenza il clima in quanto da essa dipende l'irraggiamento solare. Nella tabella di Fig. 26, sono rappresentati i valori mensili di condizioni di sereno (nuvolosità < 2/8), nuvoloso (2/8 < nuvolosità < 6/8) e coperto (nuvolosità > 6/8), espressi in okta (stima di quanti ottavi di cielo sono oscurati dalle nuvole) e riferiti al periodo 1961 – 1990 per la stazione di Fertilia.

Gen	Feb	Mar	Apr	Mag	Giu	Lug	Ago	Set	Ott	Nov	Dic
4,7	4,7	4,6	4,5	3,8	3	1,7	2	2,9	3,6	4,4	4,6
coperto	coperto	coperto	coperto	coperto	sereno	sereno	sereno	sereno	coperto	coperto	coperto

Figura 26 media mensile dei giorni di sereno, nuvoloso e coperto per il periodo 1961-1990, relativa alla stazione di Fertilia, espressa in okta.

Dall'esame dei valori della tabella si evince che il massimo di giorni sereni si ha tra Giugno e Agosto mentre durante gli altri mesi è sempre presente una certa copertura. Il valore minimo di giornate nuvolose si ha nel mese di Luglio e il massimo si osserva nei mesi di Gennaio e Febbraio. Le giornate in condizioni di coperto raggiungono il massimo a Gennaio e minimo a Luglio.

Il clima è influenzato anche dall'andamento del vento al suolo (ventosità), che viene definito analizzandone l'intensità, la direzione e la frequenza.

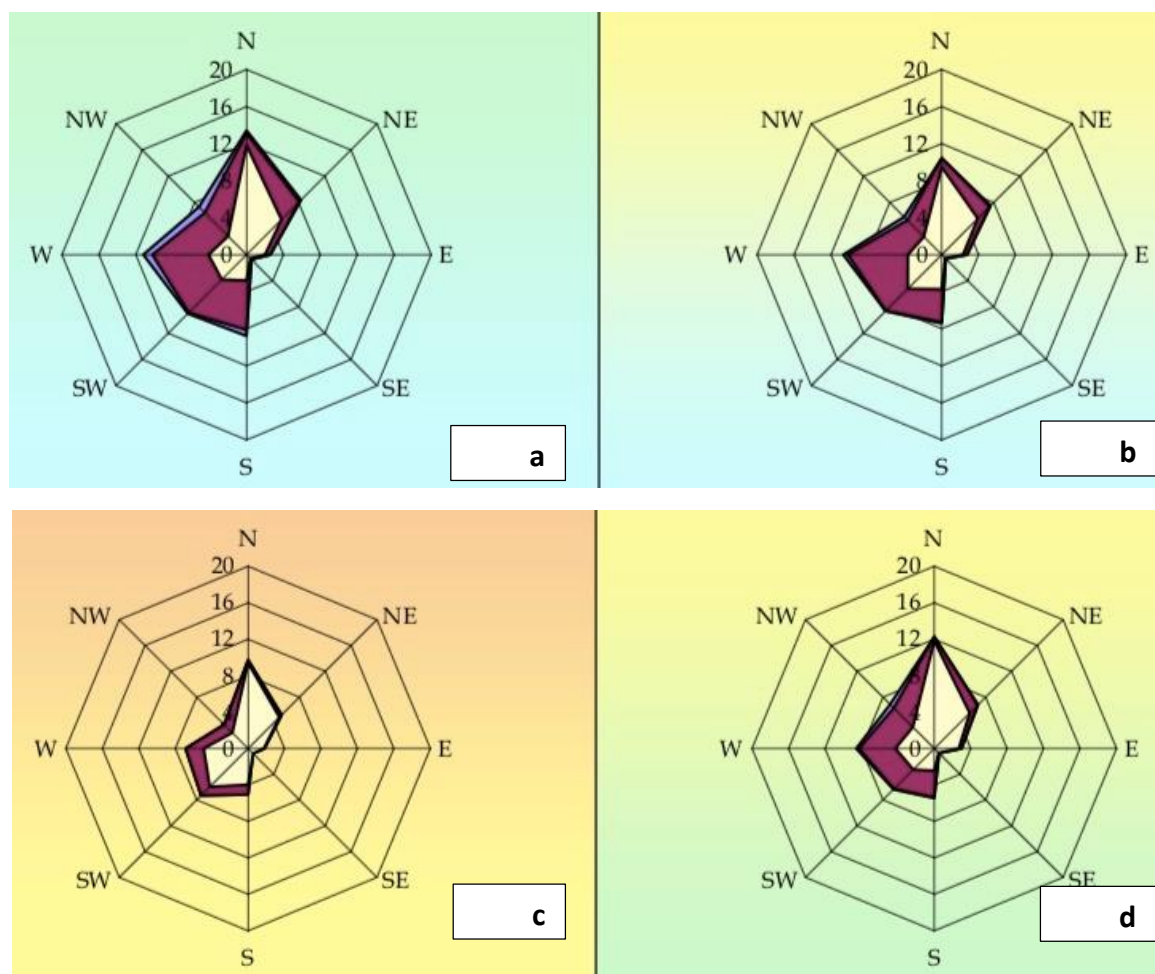


Figura 27 Ventosità media per inverno (a), primavera (b), estate (c), e autunno (d) durante il periodo 1971-2000 registrate nella stazione meteorologica di Fertilia.

Dall'analisi dei dati disponibili dalla Rete Mareografica dell'ISPRA, risulta che i venti provenienti dai quadranti settentrionali e occidentali sono in netta dominanza, in particolare quello più frequente proviene da W. Per il periodo considerato (1971-2000) nella stazione di Fertilia le percentuali di calma per le 4 stagioni sono state il 36% per l'inverno, il 44% per la primavera, il 59% per l'estate e il 48% per l'autunno.

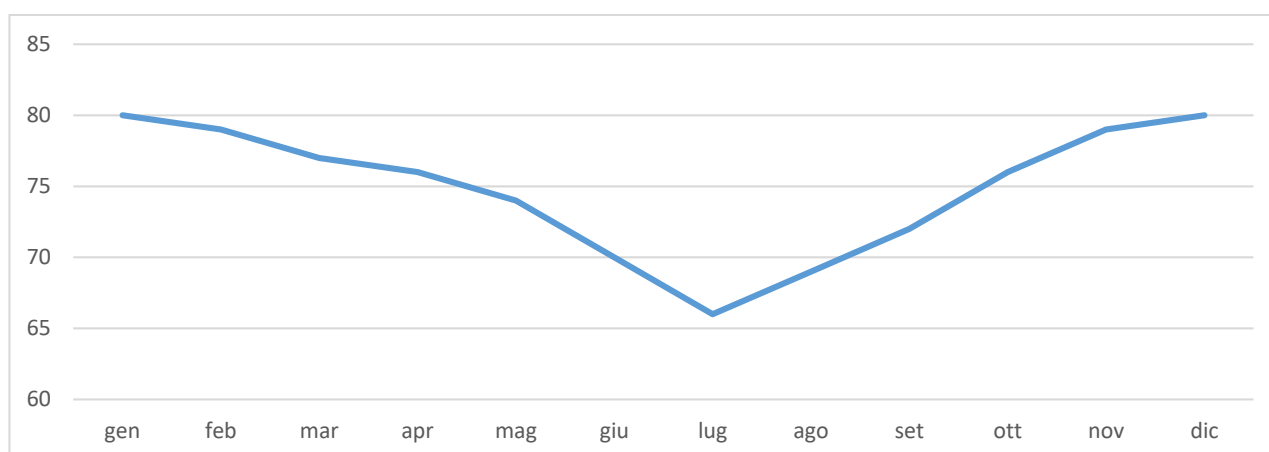


Figura 28 Umidità relativa per la stazione di Fertilia, per il periodo 1971-2000.

L'ultima variabile significativa che condiziona l'evapotraspirazione è l'umidità relativa, ossia il rapporto tra la quantità di vapore d'acqua contenuta in una massa d'aria rispetto e quella massima potenziale in relazione alla sua temperatura. Dalla tabella riportata in Fig.28, che riporta i valori dell'umidità relativa media mensile ed annuale della stazione di Fertilia per il periodo 1971-2000, si nota che tale valore raggiunge valori più elevati nei mesi invernali (Novembre-Febbraio) e valori minimi nel mese di Luglio.

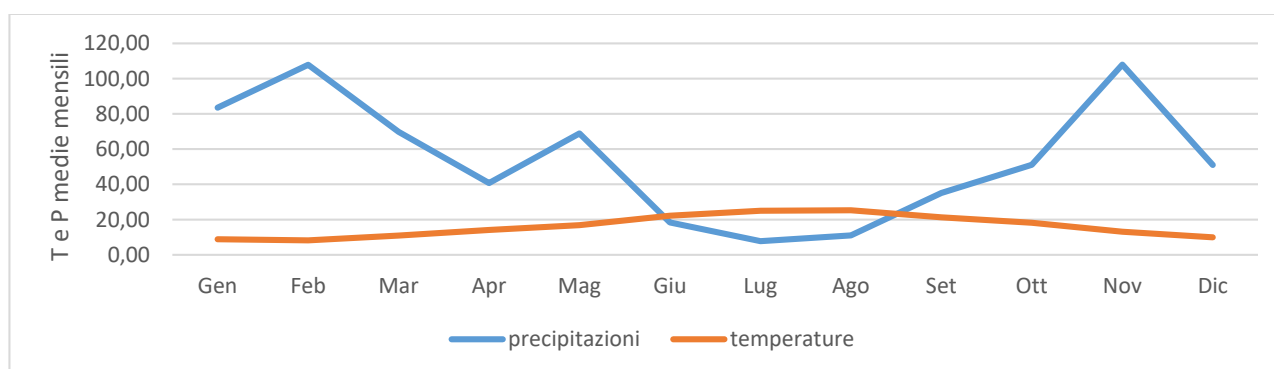


Figura 29 Diagramma ombrotermico (Walter e Lieth) per il settore di Sassari.

Il diagramma ombrotermico elaborato per l'area di Sassari a partire dai dati sulla temperatura media e precipitazioni medie, permette di comparare contemporaneamente i regimi medi mensili termici e pluviometrici nell'arco del periodo considerato. L'andamento delle curve consente di visualizzare che nei mesi estivi, dove la temperatura media mensile raggiunge valori superiori ai 24 °C, si hanno i valori di piovosità inferiori, mentre nei mesi invernali, dove le temperature medie mensili sono pari a 9°C, si raggiungono le piovosità più elevate.

Il clima è caratterizzato da un periodo caldo con scarsa piovosità e uno più freddo e piovoso. Nel grafico di si nota che la curva delle precipitazioni giace al di sotto di quella delle temperature nei mesi estivi, che rappresentano il periodo secco in quanto prevale l'evapotraspirazione rispetto agli apporti idrici.

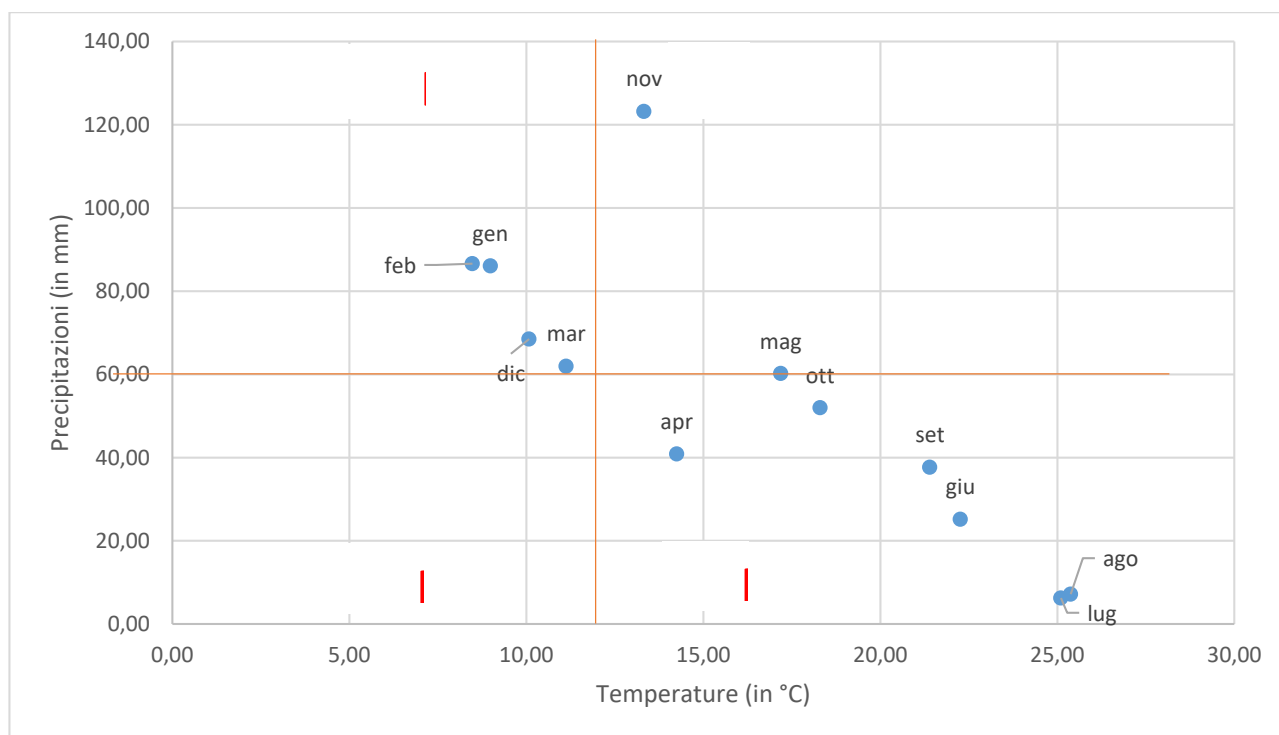


Figura 30 Climogramma relativo all'area di Sassari.

L'analisi delle medie mensili di temperatura e piovosità relative al periodo 2012-2018 permette di classificare il clima dell'area di interesse come "mediterraneo con estate calda", nel quale la temperatura media annua (16 °C), non scende mai sotto agli 8 °C, e per quattro mesi (Giugno-Settembre) supera i 22 °C, e le precipitazioni sono superiori ai 650 mm annui.

Dal climogramma (Fig.30) realizzato a partire dai valori medi di precipitazioni e temperature relativi al periodo 2012-2018 per l'area di interesse, nel quale i quadranti definiscono le diverse tipologie di climi, ossia freddo arido (I), freddo umido (II), caldo umido (III) e caldo arido (IV), è evidente che il settore in studio è caratterizzato da due periodi, uno lungo di caldo arido ed uno limitato freddo umido.

La classificazione fatta sul clima della regione, è confermata anche dall'indice di aridità medio di Demartonne stimato per l'area in oggetto che ricade nel settore da "secco - sub-umido" a "subumido" per il periodo considerato.

L'analisi dei parametri meteorologici permette di confermare l'andamento climatico rilevato in quasi tutta la Sardegna, nettamente bistagionale con le stagioni caldo arida e fresca umida che si alternano nel corso dell'anno, intervallate da due brevi stagioni a carattere intermedio.

## 9. INQUADRAMENTO IDROGEOLOGICO

### 9.1. SCHEMA DELLA CIRCOLAZIONE IDRICA SUPERFICIALE

Secondo la classificazione dei bacini sardi riportata nel Piano di Assetto Idrogeologico, il comune di Sassari è incluso nel Sub – Bacino n° 3 “Coghinas – Mannu di P.Torres – Temo”, che si estende per una superficie di 5402 Km<sup>2</sup>, pari al 23% del territorio regionale.

Il Sub-Bacino Coghinas-Mannu-Temo può essere suddiviso in tre grandi sotto insiemi: il settore Orientale e Sud-Orientale prevalentemente paleozoico, il settore centrale prevalentemente terziario, e il settore Nord-Occidentale, in cui ricade il progetto, costituito dallo zoccolo cristallino dell’horst della Gallura paleozoico e dalle formazioni carbonatiche mesozoiche che culminano con i rilievi del Doglia e del sistema di Punta Cristallo e di Capo Caccia.

Il reticolo idrografico su queste litologie è caratterizzato da una ramificazione poco sviluppata in tutta l’area vasta che include le zone di interesse per i progetti di installazione del parco fotovoltaico.

Lo sviluppo del reticolo idrografico è strettamente connesso alle caratteristiche chimico-fisiche delle rocce costituenti il substrato, e al controllo tettonico che si manifesta molto evidente su alcune linee di deflusso. Le rocce calcaree sono generalmente caratterizzate da importanti sistemi di giunti e discontinuità, spesso visibili ad occhio nudo, che influenzano la circolazione idrica superficiale che si presenta poco articolata, indice che l’aliquota d’acqua di infiltrazione è maggiore dell’acqua che prende parte al ruscellamento superficiale.

I corsi d’acqua principali presenti nell’area sono: il Riu San Nicola che scorre a sud e ad oriente, il più prossimo ai campi sui quali sarà situato il parco fotovoltaico, mentre a nord scorre il Fiume \_78127.

Il reticolo idrografico sulle litologie affioranti è impostato su un sistema di valli e compluvi, ed è caratterizzato da una ramificazione ben sviluppata nell’area vasta, ma poco sviluppata nell’area di interesse per lo sviluppo del progetto. Sono presenti diversi corsi d’acqua lungo tutta l’area di interesse, e i relativi affluenti: il Riu San Nicola che scorre a sud e ad oriente, il più prossimo ai campi sui quali sarà situato il parco fotovoltaico, mentre a nord scorre il Fiume \_78127. Nell’area prossima all’impianto scorrono due piccoli rii denominati Fiume\_78127 e Fiume\_80574 che penetra nell’area di impianto per circa 350m, di modesta entità, effimeri per la maggior parte dell’anno.



Figura 31 Suddivisione dei bacini idrografici sardi.

Lo sviluppo del reticolo idrografico è strettamente connesso alle caratteristiche chimico-fisiche delle rocce costituenti il substrato, e al controllo tettonico che si manifesta molto evidente su alcune linee di deflusso.

Gli impluvi costituiscono essenzialmente le aste tributarie di primo e secondo ordine dei torrenti che scorrono più a valle: essi presentano carattere essenzialmente torrentizio con deflussi stagionali legati strettamente alle precipitazioni. Lungo i versanti a maggiore pendenza i corsi d'acqua assumono un elevato potere erosivo, mentre solamente a valle, in corrispondenza di aste di ordine intermedio sono evidenti fenomeni di deposizione di coltri alluvionali di spessore molto modesto.

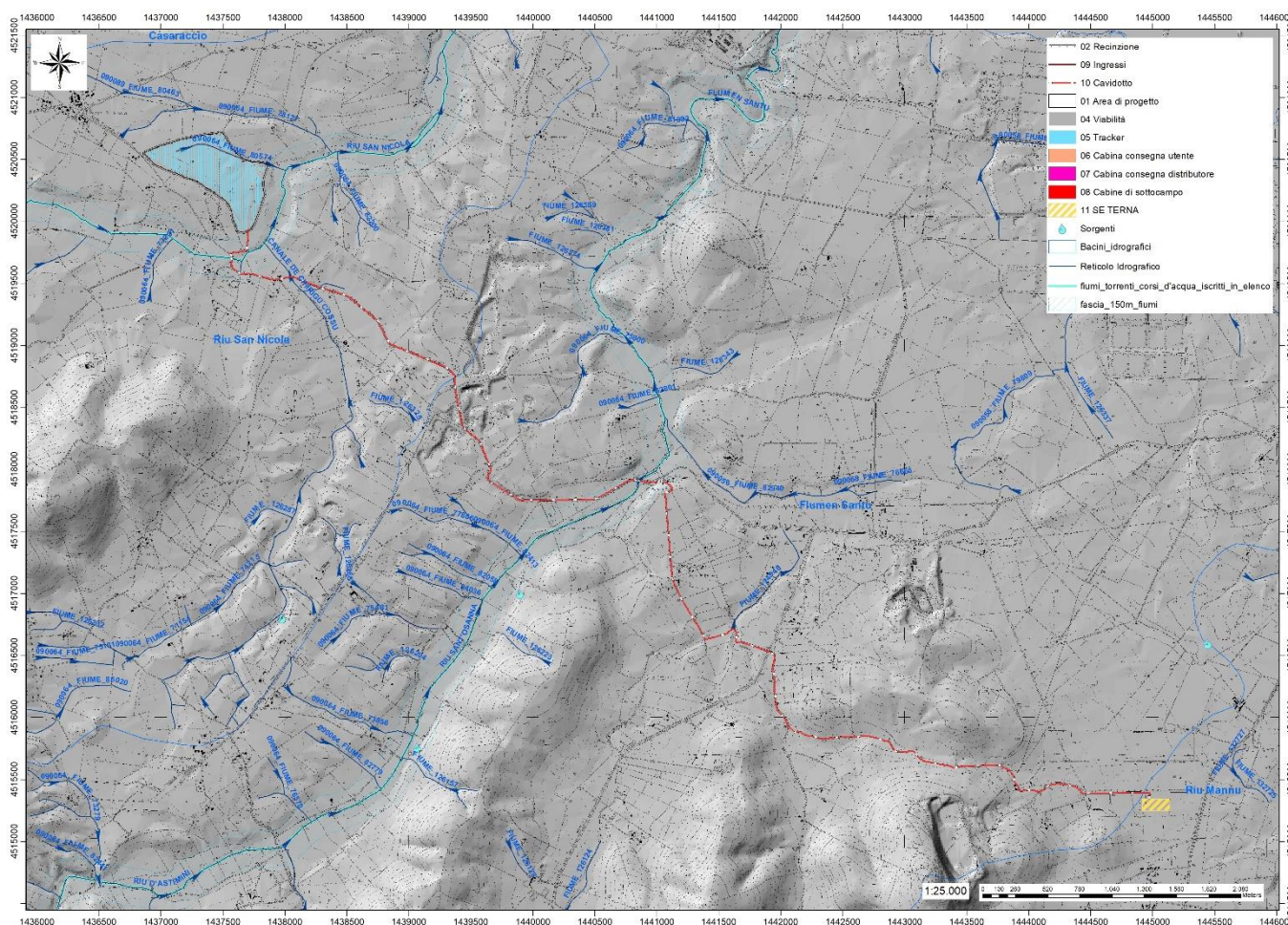


Figura 32 Carta dell'idrografia superficiale

### 9.1. SCHEMA DELLA CIRCOLAZIONE IDRICA SOTTERRANEA

Uno studio idrogeologico ha lo scopo di identificare lo schema di circolazione idrica sotterranea relativo ad una determinata area per poter ricavare informazioni circa i rapporti tra litotipi presenti, la presenza di acqua e le possibili conseguenze derivanti dalla realizzazione di un'opera.

Nell'area di interesse sono presenti rocce di diversa natura, anche se principalmente sono da riferire al Mesozoico, in parte al Paleozoico e al Quaternario. Il basamento paleozoico è costituito principalmente da litologie impermeabili e di conseguenza nel complesso sfavorevoli alla ritenzione delle acque meteoriche, che si trovano quindi a scorrere in superficie, come è possibile vedere dallo sviluppo del reticolo idrografico superficiale nella parte occidentale dell'area vasta.

Le coperture oligomioceniche prevalentemente argillose su cui verranno installati i pannelli fotovoltaici in progetto, invece, per via della loro composizione chimica, sono poco favorevoli alla ritenzione delle acque, e possiedono permeabilità bassa per porosità.

Al contatto tra le coperture mesozoiche, più permeabili, e quelle paleozoiche alla base, meno permeabili, si possono sviluppare delle risorgive che hanno carattere prettamente stagionale legato all'andamento pluviometrico generale. Di seguito viene illustrato in uno schema il processo di infiltrazione accumulo e circolazione legato al regime delle piogge.

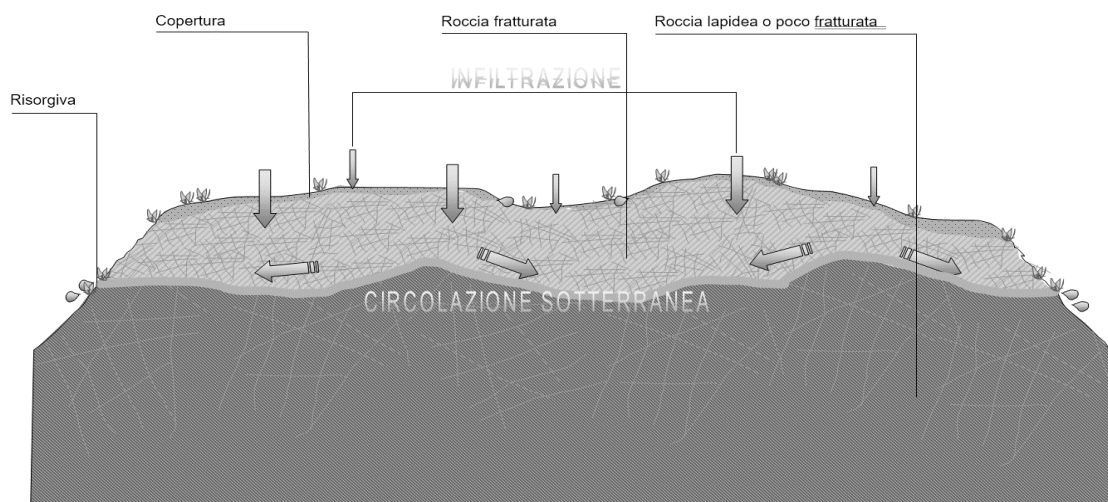


Figura 33 Schema esemplificativo, non in scala, dei processi di infiltrazione e deflusso sotterraneo

Gli afflussi che arrivano sul terreno sotto forma per lo più di piogge, più raramente e poco tempo di neve, in parte scorrono lungo la superficie in genere a lamina d'acqua per poi organizzarsi in deboli rivoli che si concentrano lungo gli impluvi fino a raggiungere le valli, mentre la frazione di acqua che non scorre in superficie in parte evapora e in parte si infiltra nel terreno e nella roccia sottostante scorrendo lungo le fratturazioni in maniera più o meno efficace in funzione del grado di apertura delle stesse.

Maggiore è la presenza di fratture e la porosità del mezzo, maggiore è la possibilità che l'acqua prosegua il suo percorso in profondità.

Da un punto di vista idrogeologico le formazioni dell'area di studio possono essere divise in quattro gruppi principali:

- Basamento Paleozoico. Affiora nella parte occidentale dell'area vasta, ed è costituito da rocce massive e scistose semipermeabili per fratturazione, da rocce impermeabili, e da rocce permeabili. Complessivamente la permeabilità del basamento metamorfico è scarsa, con Coefficienti di Permeabilità variabili tra  $10^{-7}$  e  $10^{-9}$ .
- Coperture mesozoiche. Tali coperture sono costituite da litotipi a permeabilità bassa dovuta sia alla porosità delle marne mentre medio alta sulle rocce carbonatiche presenti in tutta l'area vasta in cui si ha permeabilità per fratturazione e carsismo.
- Coperture sedimentarie oligo-mioceniche. Affiorano nella porzione centrale e orientale dell'area di interesse, e sono costituite da depositi caratterizzati da porosità medio bassa per porosità o medio bassa per fratturazione.
- Depositi quaternari. I depositi quaternari occupano aree molto limitate nella parte centrale e meridionale dell'area di interesse raggiungendo spessori poco significativi, con una permeabilità medio-alta per porosità. I depositi di versante essendo in gran parte costituiti da una struttura clasto-sostenuta e scarsa matrice (falde di detrito), presentano una permeabilità molto elevata, in ogni caso i loro spessori esigui non garantiscono una potenza sufficiente per generare acquiferi significativi.

Le litologie che interessano l'area di progetto presentano una **permeabilità medio-bassa per porosità (BP)** per quanto attiene ai depositi a matrice argillosa oligo-miocenici e **medio-alta per porosità** per i depositi pleistocenici, come è possibile vedere dalla Carta delle permeabilità resa disponibile Geoportale della Regione Autonoma della Sardegna.

Dalla carta dei sistemi idrogeologici del foglio 459 "Sassari", si possono osservare le isopieze relative al complesso calcareo, le quali presentano direzioni di deflusso da sud-ovest verso nord-est.

Al complesso sedimentario marnoso-calcareo (cmc), su cui sorgerà la porzione orientale dell'impianto, viene attribuita una conducibilità idraulica di  **$k = 10^{-8}$** .

Al complesso sedimentario sedimentario recente (Q), su cui sorgerà la porzione occidentale dell'impianto, viene attribuita una conducibilità idraulica di  **$k = 10^{-4}$**

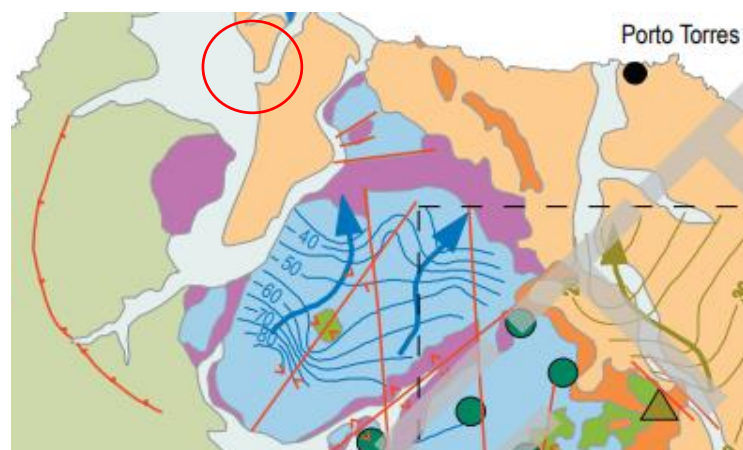
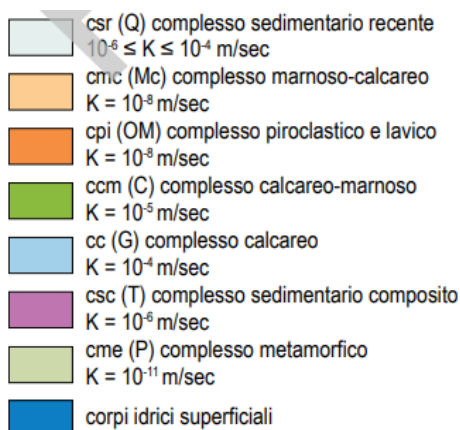


Figura 34 Sistemi idrogeologici dell'area occidentale del foglio 459 "Sassari"



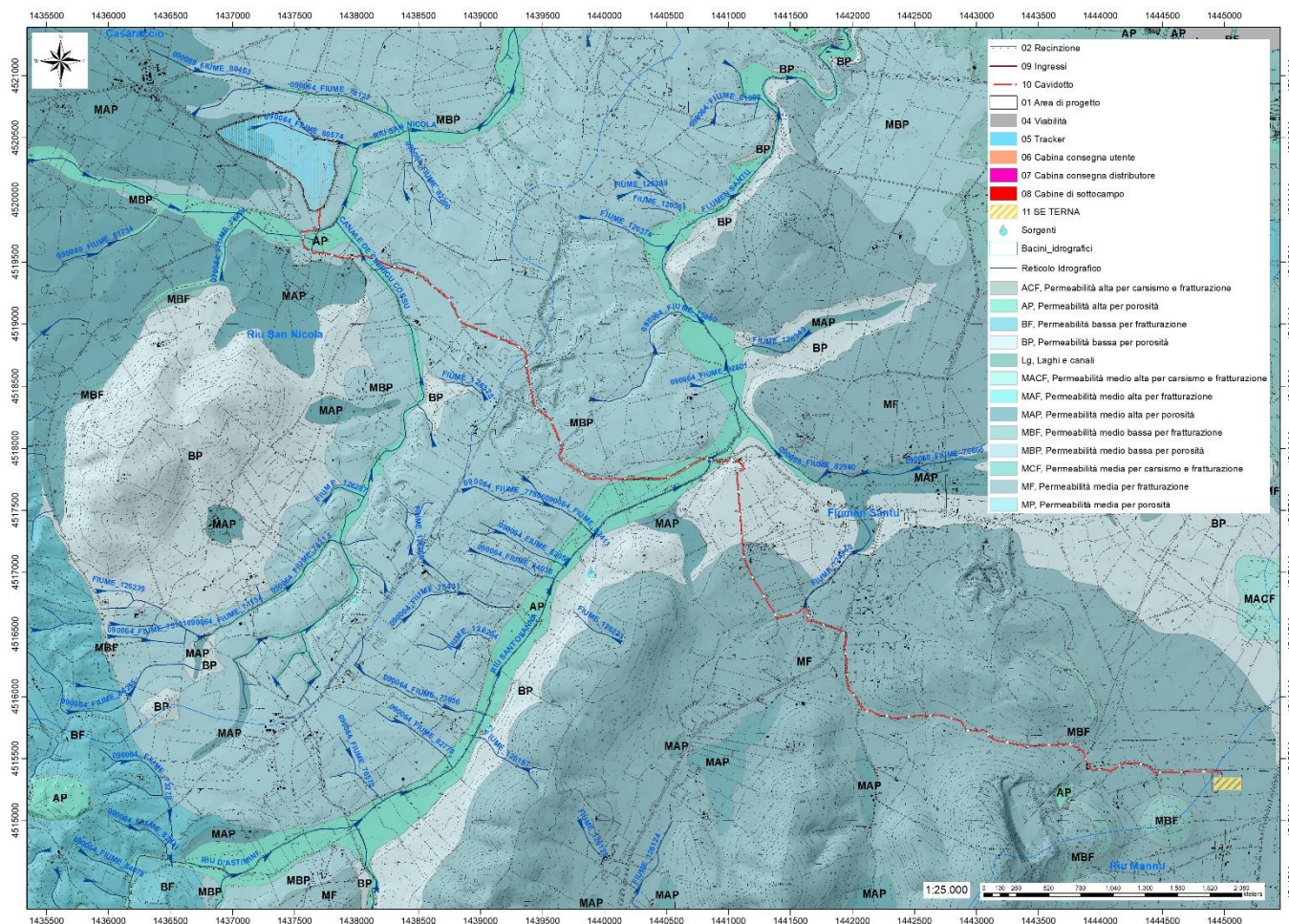


Figura 35 Carta delle permeabilità dei substrati

## 9.2. DISSESTI IN ATTO O POTENZIALI CHE POSSONO INTERFERIRE CON L'OPERA E LORO TENDENZA EVOLUTIVA

La predisposizione naturale di un territorio a fenomeni di instabilità legata alle dinamiche geomorfologiche deriva in generale dall'interazione di diversi fattori come natura geologica dei terreni, loro assetto sia deposizionale che geostrutturale, circolazione delle acque superficiali e sotterranee con la morfologia cioè la geometria del territorio.

L'area oggetto di intervento, in base delle caratteristiche suddette non presenta allo stato attuale evidenze di dissesto di natura geologico-geomorfologica in atto o potenziale escludendo la naturale evoluzione del pendio.

## 10. INQUADRAMENTO PEDOLOGICO

Le tipologie di suolo sono legate per genesi alle caratteristiche delle formazioni geo-litologiche presenti e all'assetto idraulico di superficie nonché ai diversi aspetti morfologici, climatici e vegetazionali.

Poiché la litologia del substrato o della roccia madre ha una importanza fondamentale quale fattore nella pedogenesi dei suoli, le unità principali sono state delimitate in funzione delle formazioni geologiche prevalenti, e successivamente all'interno di esse sono state individuate unità, distinte dalla morfologia del rilievo, dall'acclività e dall'uso del suolo prevalente

L'area di progetto su cui verranno installati i pannelli ricade nei paesaggi su

- "Alluvioni e su arenarie eoliche cementate del Pleistocene." con Profili A-Bt-C, A-Btg-Cg e subordinatamente A-C, profondi, da FS a FSA in superficie, da FSA ad A in profondità, da permeabili a poco permeabili, da subacidi ad acidi, da saturi a desaturati.; cui sono associati suoli dell'unità I1 della Carta dei Suoli della Sardegna.

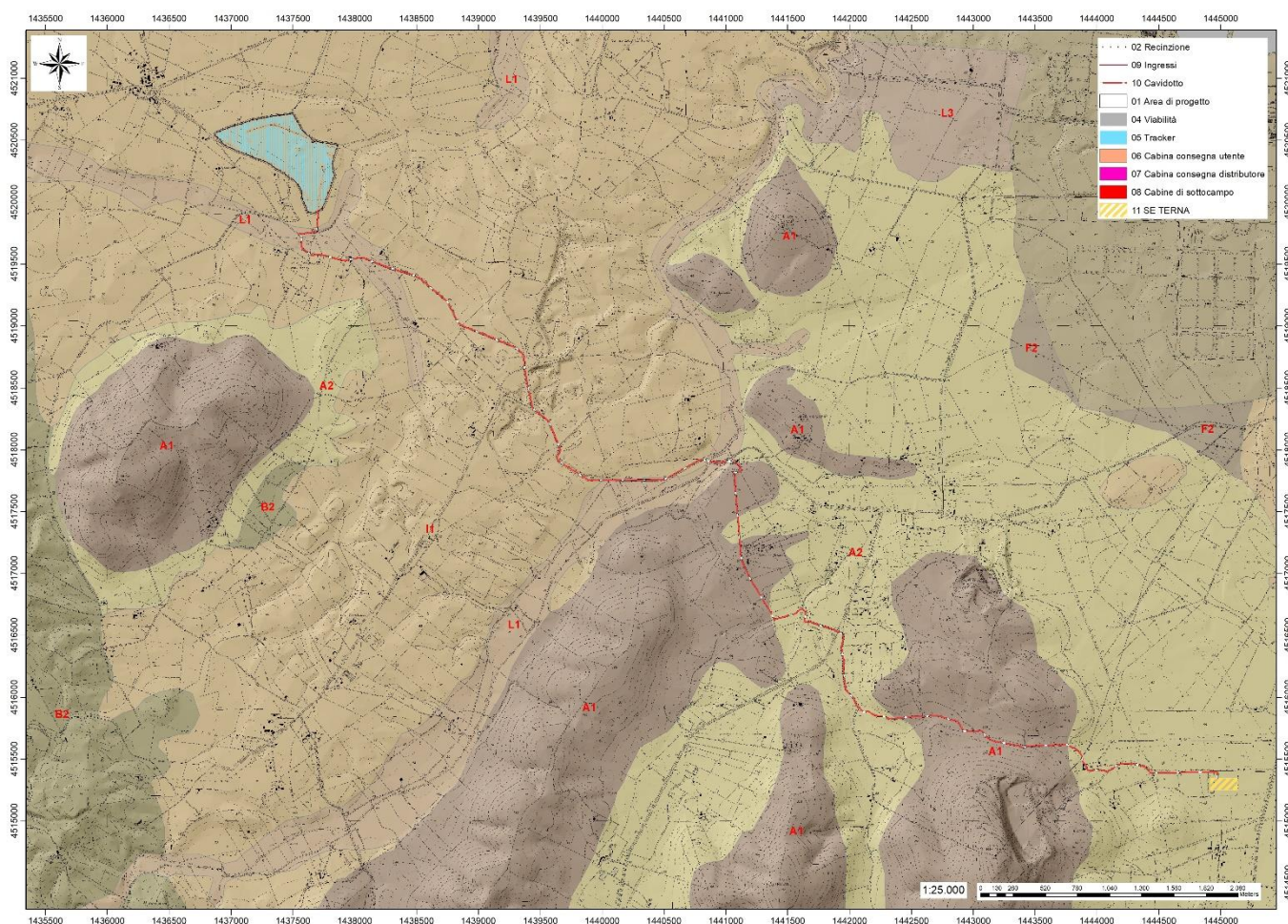


Figura 36 Stralcio della Carta dei Suoli della Sardegna (Fonte RAS)

## 11.USO DEL SUOLO

Dalla Carta dell'Uso del Suolo, resa disponibile dalla Regione Sardegna, si evince che l'ambito di progetto dell'Impianto agrovoltaiico "Lunestas" si inserisce in un contesto in cui il suolo ricade in vari livelli.

In particolare, dall'analisi della cartografia esistente, si evince che ricadono nei seguenti livelli:

- 2112 PRATI ARTIFICIALI
- 2111 SEMINATIVI IN AREE NON IRRIGUE

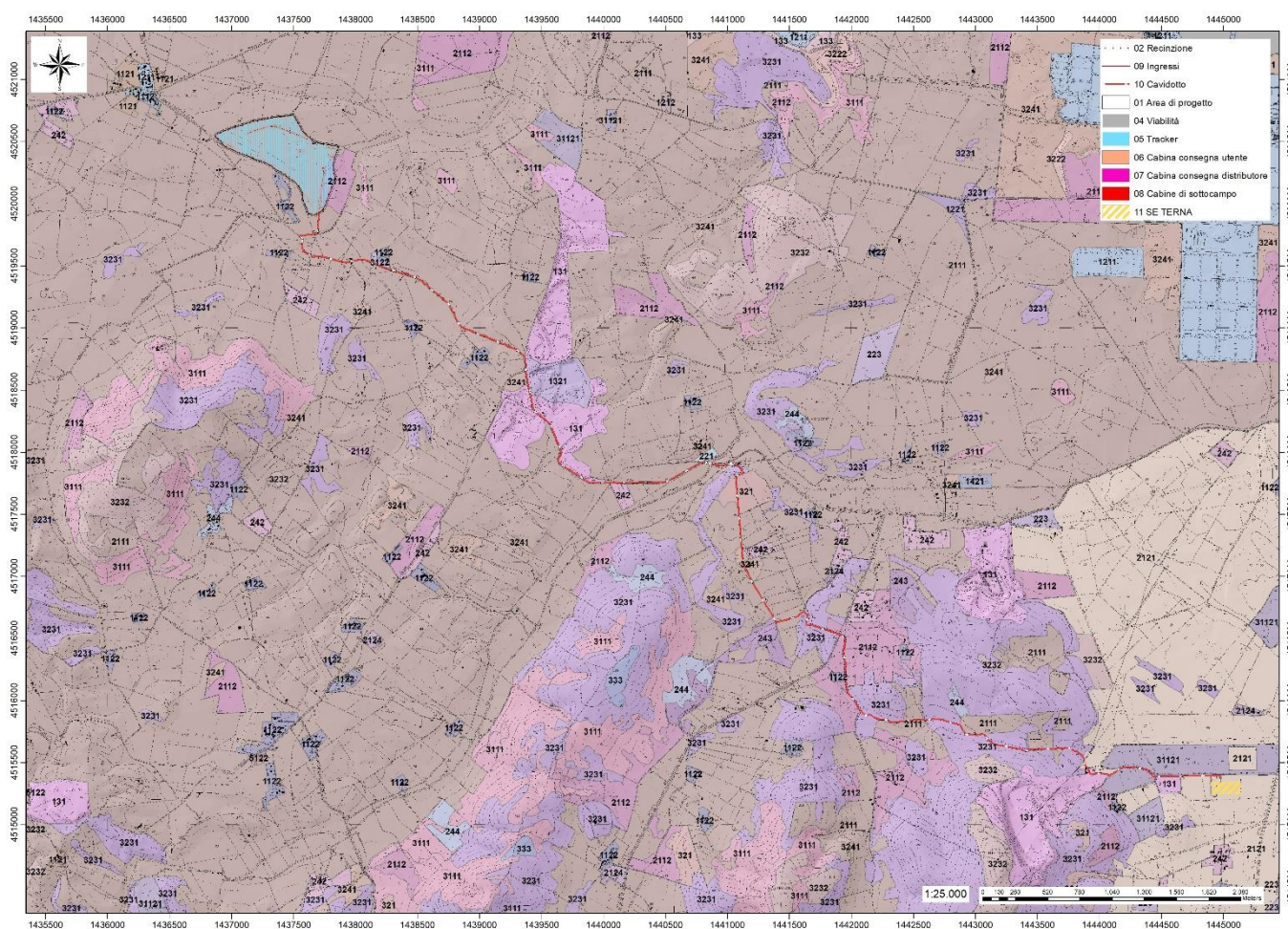


Figura 37 Stralci della Carta dell'Uso del Suolo, (Fonte RAS)

## 12.INDAGINI GEOGNOSTICHE

La necessità di integrare le informazioni di tipo geologico e geotecnico derivanti da studi pregressi, dalla letteratura di settore e dai rilievi geologici e geostrutturali in sito, ha reso necessario predisporre un piano di indagini geognostiche propedeutiche alla definizione del modello geologico di riferimento di sito funzionale alle opere previste in progetto così come richiamato dalle Norme Tecniche sulle Costruzioni (NTC2018 - §Cap. 6.2.1).

L'obiettivo delle indagini realizzate è stato:

- Definire la stratigrafia ed i rapporti tra le formazioni geologiche interessate dagli interventi;
- Definire le caratteristiche fisico-meccaniche degli ammassi rocciosi coinvolti nelle opere in progetto;

L'indagine geognostica è stata realizzata essenzialmente mediante prospezione geofisica e rilievo geostrutturale in sito.

Le prospezioni geofisiche sono state realizzate impiegando la metodologia sismica con la tecnica MASW.

L'indagine sismica con tecnica MASW (Multichannel Analysis of SurfaceWaves) è una tecnica di indagine non invasiva, che attraverso la definizione del profilo di velocità delle onde di taglio verticali Vs, è in grado di ricostruire una sismo-stratigrafia atta a permettere la definizione della categoria di suolo ai sensi del DM 17/01/2018.

In data 30/08/2022 è stata realizzata la prospezione geofisica integrativa ad opera della ditta Geoservice S.R.L., articolata in:

Esecuzione di n° 1 stendimenti di sismica con tecnica MASW (M1).

Elaborazione dei dati tramite analisi delle prospezioni acquisite in campagna, applicazione filtri, e restituzione grafica delle sezioni sismiche con l'impiego del software specialistici.

Lo stendimento è stato posizionato in modo da esser rappresentativo delle condizioni litostratigrafiche e geostrutturali, in accordo con quanto rilevato dai rilievi di superficie.

Nella Tabella seguente è riportato il quadro riassuntivo delle indagini svolte, con le sigle identificative, la direzione di esecuzione (da geofono iniziale a quello finale), e la loro lunghezza complessiva, mentre nella figura seguente è rappresentato il punto dove sono state effettuate le indagini.

N° progr.	Tipologia di indagine	Sigla Stendimento	Direzione	Intervallo Geofoni [m]	Lunghezza [m]
1	M.A.S.W	M1	NNW-SSE	2,0	46

Di seguito si riportano le specifiche di rilievo e gli esiti dell'elaborazione dei profili sismici acquisiti.

### 12.1. M.A.S.W. – TECNICA E PARAMETRI UTILIZZATI

Il metodo MASW (Multichannel Analysis of Surface Waves) è una tecnica di indagine non invasiva, che individua il profilo di velocità delle onde di taglio verticali Vs, basandosi sulla misura delle onde superficiali fatta in corrispondenza di diversi sensori (geofoni) posti sulla superficie del suolo.

Il contributo predominante alle onde superficiali è dato dalle onde di Rayleigh, che viaggiano con una velocità correlata alla rigidità della porzione di terreno interessata dalla propagazione delle onde. In un mezzo stratificato le onde di Rayleigh sono dispersive, cioè onde con diverse lunghezze d'onda si propagano con diverse velocità di fase e velocità di gruppo (Achenbach, J.D., 1999, Aki, K. and Richards, P.G., 1980) o detto in maniera equivalente la velocità di fase (o di gruppo) apparente delle onde di Rayleigh dipende dalla frequenza di propagazione. La natura dispersiva delle onde superficiali è correlabile al fatto che onde ad alta frequenza con lunghezza d'onda corta si propagano negli strati più superficiali e quindi danno informazioni sulla parte più superficiale del suolo, invece onde a bassa frequenza si propagano negli strati più profondi e quindi interessano gli strati più profondi del suolo." (da Caratterizzazione sismica dei suoli con il metodo MASW (Multichannel Analysis of Surface Waves – V. Roma 2006). L'indagine svolta ha visto l'applicazione di tecnica M.A.S.W. di tipo attivo, ossia misura del comportamento dei terreni a seguito di un'energizzazione.



Figura 38 Schema geometrico di acquisizione dei dati per gli stendimenti di lunghezza L = 46,0 m

L'indagine si sviluppa mediante la materializzazione sul terreno di una linea retta mediante la posa di una fettuccia metrica. A seguire vengono posizionati i geofoni intervallati ad una distanza pari a 2,0 m in funzione anche della disponibilità di spazio. Esternamente alla stesa geofonica, da ora base sismica, a distanza di interesse che può essere pari ad un multiplo della distanza intergeofonica ma anche variabile (in funzione delle disponibilità di cantiere), sia in andata (ovvero in prossimità del geofono 1) che al ritorno (ovvero all'ultimo geofono posizionato sulla base sismica), vengono svolte delle energizzazioni mediante massa battente pari a Kg 10,0. Nel caso in esame, sono state svolte le energizzazioni in "andata" e in "ritorno" con distanza dal geofono 1 e dal geofono 24 crescente e pari a multipli della distanza intergeofonica.

Il metodo risulta efficace se la base sismica è ubicata su piano a pendenza costante e per una stratificazione piano parallela al piano topografico. Al fine di svolgere al meglio la campagna geofisica M.A.S.W., è utile che lo sviluppo lineare della base sismica sia limitata in lunghezza secondo i siti.

Il numero di geofoni utile all'esecuzione ottimale di un'indagine M.A.S.W. è risultato, per il cantiere svolto, di 24 geofoni dei quali sono state utilizzate tutte le tracce. Il tempo dell'acquisizione è stato definito tra 1.00 e 2.00 secondi.

La maggior profondità di caratterizzazione raggiunta è legata alla minor frequenza registrata. Come già indicato nella figura, una frequenza alta caratterizza gli strati superficiali. La registrazione delle frequenze minori è destinata ai geofoni più lontani dalla sorgente.



Figura 39 Localizzazione stendimento nell'area vasta



Figura 40 Particolare dell'ubicazione dello stendimento M1

## 12.2. M.A.S.W. – ELABORAZIONE RISULTATI

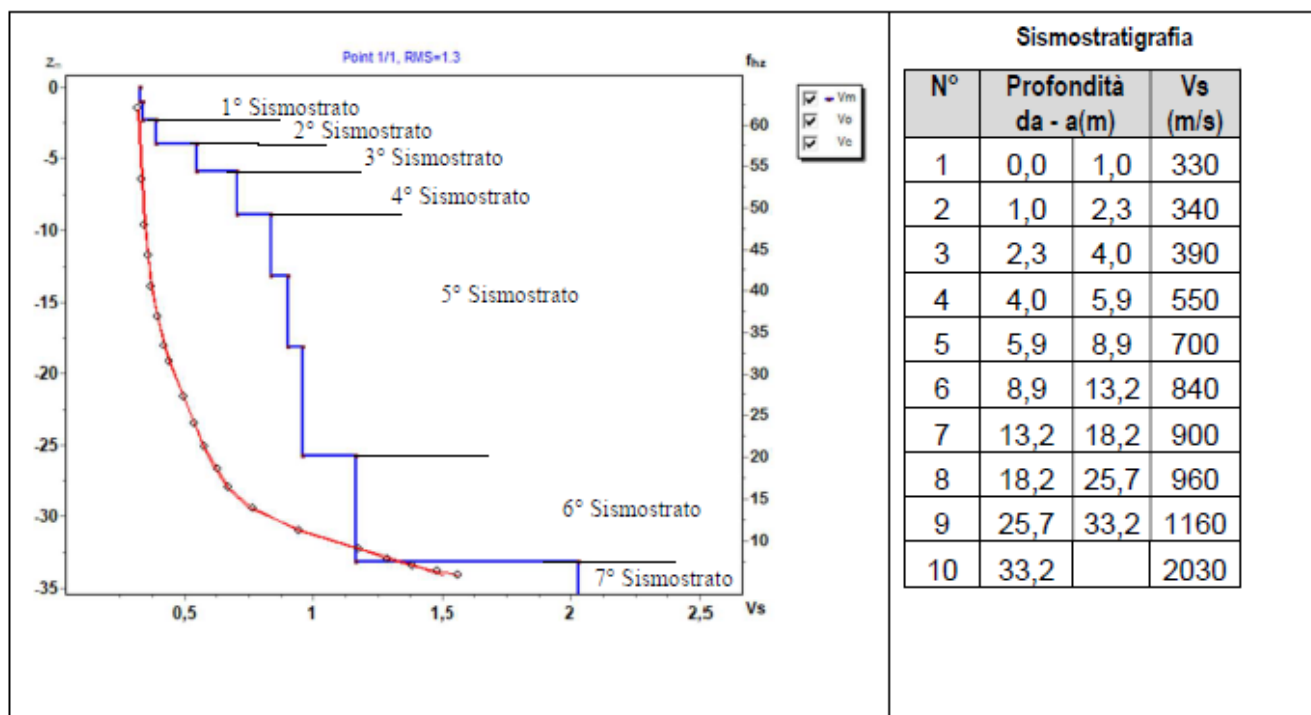
L'indagine sismica con tecnica MASW ha permesso di ottenere il profilo medio di velocità delle onde di taglio verticali  $V_s$  della sezione MX, dal quale si possono distinguere i sismostrati di seguito indicati. Si ricorda che si tratta di un profilo medio della velocità di taglio  $V_s$ .

### 12.2.1. BASE SISMICA M1

L'indagine sismica con tecnica MASW ha permesso di ottenere il profilo medio di velocità delle onde di taglio verticali  $V_s$  della sezione **M1**, dal quale si possono distinguere i sismostrati di seguito indicati. Si ricorda che si tratta di un profilo medio della velocità di taglio  $V_s$ .

Profondità [m sotto il pc]	Descrizione
0,0 – 2,3	1° sismostrato con Vs tra 330 e 340 m/s terre mediamente addensate
2,3 – 4,0	2° sismostrato con Vs di 390 m/s terre molto addensate e/o roccia tenera
4,0 – 5,9	3° sismostrato con Vs di 550 m/s roccia tenera
5,9 – 8,9	4° sismostrato con Vs di 700 m/s roccia tenera e/o intensamente fratturata
8,9 – 25,7	5° sismostrato con Vs tra 840 e 960 m/s substrato roccioso fratturato
25,7 – 32,2	6° sismostrato con Vs di 1160 m/s substrato roccioso debolmente fratturato
> 32,2	7° sismostrato con Vs di 2030 m/s substrato roccioso a sano

M.A.S.W M1-PROFILO Vs (Vs eq da p.c.= 468 m/s)



La classificazione del sottosuolo si effettua in base alle condizioni stratigrafiche ed ai valori della velocità equivalente di propagazione delle onde di taglio, Vs,eq (in m/s), definita dall'espressione

$$V_{S,eq} = \frac{H}{\sum_{i=1}^N \frac{h_i}{V_{S,i}}}$$

con:

hi spessore dell'i-esimo strato;

Vs,i velocità delle onde di taglio nell'i-esimo strato;

N numero di strati;

H profondità del substrato, definito come quella formazione costituita da roccia o terreno molto rigido, caratterizzata da Vs non inferiore a 800 m/s.

Esaminato il profilo delle Vs si pone come profondità del substrato **8,9 m** (Vs>800 m/s).

La velocità equivalente di propagazione delle onde di taglio calcolata per il substrato posto a 10,6 m di profondità dal p.c. e per fondazioni realizzate al piano di campagna è pari a:

**Vs eq = 8,9/0,0190 = 468 m/s** Ciò consente di classificare il terreno come **Categoria B: Rocce tenere e depositi di terreni a grana grossa molto addensati o terreni a grana fina molto consistenti**, caratterizzati da un miglioramento delle proprietà meccaniche con la profondità e da valori di velocità equivalente compresi tra 360 m/s e 800 m/s.



Nella tabella seguente si illustrano i parametri di deformazione dinamici medi calcolati tramite correlazione bibliografica dei parametri di input Vs, e Vp e densità (da bibliografia/correlazione) per ciascun sismostrato definito dalle indagini eseguite.

Sismostrato	Prof/zona	CT*	Densità $\gamma$	Vp	Vs	Coefficiente di Poisson $\nu$	Modulo di Young dinamico Ed	Modulo di Young statico Ed	Modulo di taglio $G_0$	Modulo di comprimibilità o di Bulk - K
			[Kg/m <sup>3</sup> ]	[m/s]	[m/s]		[MPa]	[MPa]	[MPa]	[MPa]
1	0,0-2,3	terre	1.700	670	335	0,33	510	62	186	510
2	2,3-4,0	10%	1.800	780	390	0,33	726	73	275	726
3	4,0-5,9	10%	2.000	1.100	550	0,33	1.618	162	608	1.618
4	5,9-8,9	15%	2.100	1.400	700	0,33	2.746	412	1.030	2.746
5	8,9-25,7	20%	2.200	1.800	900	0,33	4.756	951	1.785	4.756
6	25,7-32,2	30%	2.300	2.320	1.160	0,33	8.257	2.477	3.099	8.257
7	>32,2	40%	2.400	4.060	2.030	0,33	26.371	10.548	9.895	26.371

Figura 41 Parametri di deformazione dinamici e statici dei terreni determinati tramite misure sismiche

### 13.ANALISI E SISMICITA' STORICA

Le azioni sismiche di progetto, in base alle quali valutare il rispetto dei diversi stati limite considerati, si definiscono a partire dalla pericolosità sismica di base del sito di costruzione e sono funzione delle caratteristiche morfologiche e stratigrafiche che determinano la risposta sismica locale.

Dalla normativa vigente NTC2018 si evince che la pericolosità sismica è definita in termini di accelerazione orizzontale massima attesa  $A_g$  in condizioni di campo libero su sito di riferimento rigido con superficie topografica orizzontale (di categoria A come definita al § 3.2.2), nonché di ordinate dello spettro di risposta elastico in accelerazione ad essa corrispondente  $S_e(T)$ , con riferimento a prefissate probabilità di eccedenza PVR come definite nel § 3.2.1, nel periodo di riferimento VR, come definito nel § 2.4. Inoltre, in alternativa è ammesso l'uso di accelerogrammi, purchè correttamente commisurati alla pericolosità sismica locale dell'area della costruzione.

Le forme spettrali sono definite, per ciascuna delle probabilità di superamento PVR nel periodo di riferimento VR, a partire dai valori dei seguenti parametri su sito di riferimento rigido orizzontale:

$A_g$  accelerazione orizzontale massima al sito;

$F_0$  valore massimo del fattore di amplificazione dello spettro in accelerazione orizzontale;

$TC^*$  valore di riferimento per la determinazione del periodo di inizio del tratto a velocità costante dello spettro in accelerazione orizzontale.1

Per i valori di  $A_g$ ,  $F_o$  e  $TC^*$  necessari per la determinazione delle azioni sismiche, si fa riferimento agli Allegati A e B al Decreto del Ministro delle Infrastrutture 14 gennaio 2008, pubblicato nel S.O. alla Gazzetta Ufficiale del 4 febbraio 2008, n.29, ed eventuali successivi aggiornamenti.

### 13.1. VITA NOMINALE, CLASSI D'USO E PERIODO DI RIFERIMENTO

La tipologia di costruzioni previste in progetto (NTC2018 - par.2.4) ha **vita nominale  $\geq 50$  anni** (opere ordinarie, ponti, opere infrastrutturali e dighe di grandi dimensioni...) appartiene alla **classe d'uso II**.

**Tabella 2.4.I – Vita nominale  $V_N$  per diversi tipi di opere**

TIPI DI COSTRUZIONE		Vita Nominale $V_N$ (in anni)
1	Opere provvisorie – Opere provvisionali - Strutture in fase costruttiva <sup>1</sup>	$\leq 10$
2	Opere ordinarie, ponti, opere infrastrutturali e dighe di dimensioni contenute o di importanza normale	$\geq 50$
3	Grandi opere, ponti, opere infrastrutturali e dighe di grandi dimensioni o di importanza strategica	$\geq 100$

*Classe II:* Costruzioni il cui uso preveda normali affollamenti, senza contenuti pericolosi per l'ambiente e senza funzioni pubbliche e sociali essenziali. Industrie con attività non pericolose per l'ambiente. Ponti, opere infrastrutturali, reti viarie non ricadenti in Classe d'uso III o in Classe d'uso IV, reti ferroviarie la cui interruzione non provochi situazioni di emergenza. Dighe il cui collasso non provochi conseguenze rilevanti.

Le azioni sismiche su ciascuna costruzione vengono valutate in relazione ad un periodo di riferimento  $V_R$  che si ricava, per ciascun tipo di costruzione, moltiplicandone la vita nominale  $V_N$  per il coefficiente d'uso  $C_U$ :

$$V_R = V_N \times C_U$$

Il valore del coefficiente d'uso  $C_U$  è definito, al variare della classe d'uso, come mostrato in Tab. 2.4.II. Nel Caso specifico  **$C_U = 1$** .

**Tab. 2.4.II – Valori del coefficiente d'uso  $C_U$**

CLASSE D'USO	I	II	III	IV
COEFFICIENTE $C_U$	0,7	1,0	1,5	2,0

Il valore del periodo di riferimento è  **$V_r = 50$**

Amplificazione stratigrafica e topografica: Nel caso di pendii con inclinazione maggiore di  $15^\circ$  e altezza maggiore di 30 m, l'azione sismica di progetto deve essere opportunamente incrementata o attraverso un coefficiente di amplificazione topografica o in base ai risultati di una specifica analisi bidimensionale della risposta sismica locale, con la quale si valutano anche gli effetti di amplificazione stratigrafica

La **categoria topografica è la T1** a cui corrisponde un valore del fattore di amplificazione pari a 1.0.

**Tabella 3.2.IV – Categorie topografiche**

Categoria	Caratteristiche della superficie topografica
T1	Superficie pianeggiante, pendii e rilievi isolati con inclinazione media $i \leq 15^\circ$
T2	Pendii con inclinazione media $i > 15^\circ$
T3	Rilievi con larghezza in cresta molto minore che alla base e inclinazione media $15^\circ \leq i \leq 30^\circ$
T4	Rilievi con larghezza in cresta molto minore che alla base e inclinazione media $i > 30^\circ$

Al fine di definire l'azione sismica di progetto, basata sull'identificazione della categoria del sottosuolo di riferimento, si è voluto definire il parametro fondamentale per la "classificazione sismica dei terreni", e quindi per la determinazione della categoria, **corrispondente alla velocità equivalente di propagazione delle onde di taglio VS30**, valutata entro i primi 30 m di profondità dal piano campagna ma nel caso specifico relativa alla quota di imposta delle fondazioni.

Per tale scopo, in accordo agli approcci semplificati proposti dal D.M. 17/01/2018 - Tab. 3.2.II (Figura 5.4) la determinazione del parametro delle onde di taglio VS30 è stato stimato mediante misura delle velocità sismiche attraverso l'esecuzione di una prospezione geofisica MASW di seguito descritta in dettaglio.

Categorie di sottosuolo: La classificazione del sottosuolo si effettua in base alle condizioni stratigrafiche ed ai valori della velocità equivalente di propagazione delle onde di taglio,  $V_{s,eq}$  (in m/s), definita dall'espressione con:

$$V_{s,eq} = \frac{H}{\sum_{i=1}^N \frac{h_i}{V_{s,i}}}$$

con:

$h_i$  spessore dell'i-esimo strato;

$V_{s,i}$  velocità delle onde di taglio nell'i-esimo strato;

N numero di strati;

H profondità del substrato, definito come quella formazione costituita da roccia o terreno molto rigido, caratterizzata da  $V_s$  non inferiore a 800 m/s.

Esaminato il profilo delle  $V_s$  per lo stendimento M1 si pone l'eventuale presenza del substrato a profondità **8,9 m** ( $V_s > 800$  m/s).

La velocità equivalente di propagazione delle onde di taglio calcolata per il substrato posto a profondità 10,6 m di profondità dal p.c. è pari a:

$$V_{s,eq} = 8,9 / 0,0190 = 468 \text{ m/s}$$

Ciò consente di classificare il terreno come Categoria **B: tenere e depositi di terreni a grana grossa molto addensati o terreni a grana fina molto consistenti**, caratterizzati da un miglioramento delle proprietà meccaniche con la profondità e da valori di velocità equivalente compresi tra 360 m/s e 800 m/s.

Tabella 3.2.II – Categorie di sottosuolo

Categoria	Descrizione
A	<i>Ammassi rocciosi affioranti o terreni molto rigidi</i> caratterizzati da valori di $V_{s,30}$ superiori a 800 m/s, eventualmente comprendenti in superficie uno strato di alterazione, con spessore massimo pari a 3 m.
B	<i>Rocce tenere e depositi di terreni a grana grossa molto addensati o terreni a grana fina molto consistenti</i> con spessori superiori a 30 m, caratterizzati da un graduale miglioramento delle proprietà meccaniche con la profondità e da valori di $V_{s,30}$ compresi tra 360 m/s e 800 m/s (ovvero $N_{SPT,30} > 50$ nei terreni a grana grossa e $c_{u,30} > 250$ kPa nei terreni a grana fina).
C	<i>Depositati di terreni a grana grossa mediamente addensati o terreni a grana fina mediamente consistenti</i> con spessori superiori a 30 m, caratterizzati da un graduale miglioramento delle proprietà meccaniche con la profondità e da valori di $V_{s,30}$ compresi tra 180 m/s e 360 m/s (ovvero $15 < N_{SPT,30} < 50$ nei terreni a grana grossa e $70 < c_{u,30} < 250$ kPa nei terreni a grana fina).
D	<i>Depositati di terreni a grana grossa scarsamente addensati o di terreni a grana fina scarsamente consistenti</i> , con spessori superiori a 30 m, caratterizzati da un graduale miglioramento delle proprietà meccaniche con la profondità e da valori di $V_{s,30}$ inferiori a 180 m/s (ovvero $N_{SPT,30} < 15$ nei terreni a grana grossa e $c_{u,30} < 70$ kPa nei terreni a grana fina).
E	<i>Terreni dei sottosuoli di tipo C o D per spessore non superiore a 20 m</i> , posti sul substrato di riferimento (con $V_s > 800$ m/s).

In base ai dati di localizzazione, tipologia dell'opera e classe d'uso si sono calcolati i parametri sismici relativi alle verifiche SLO, SLD, SLV e SLC. (SW AZTEC Sisma 10.0 e GEOSTRU PS):

	$T_R$ [anni]	$a_g$ [m/s <sup>2</sup> ]	$F_0$ [...]	$T_C^*$ [s]
SLO	30	0.183	2.610	0.273
SLD	50	0.231	2.670	0.296
SLV	475	0.490	2.880	0.340
SLC	975	0.591	2.980	0.372

Figura 42 Parametri sismici in funzione delle coordinate geografiche del sito

Dove:

Stati limite di esercizio

**Stato Limite di Operatività (SLO)**

**Stato Limite di Danno (SLD)**

**ag** accelerazione orizzontale massima al sito;

**F<sub>0</sub>** valore massimo del fattore di amplificazione dello spettro in accelerazione orizzontale.

**T\*C** periodo di inizio del tratto a velocità costante dello spettro in accelerazione orizzontale

Stati limite ultimi

**Stato Limite di salvaguardia della Vita (SLV):**

**Stato Limite di prevenzione del Collasso (SLC):**

## 14. ANALISI DEI VINCOLI GRAVANTI SUI TERRENI

Per quanto riguarda gli aspetti legati alla pericolosità idrogeologica, si sintetizzano gli esiti del Piano Stralcio per l'Assetto Idrogeologico (PAI), che è stato redatto dalla Regione Sardegna ai sensi del comma 6 ter dell'art. 17 della Legge 18 maggio 1989 n. 183 e ss.mm.ii., adottato con Delibera della Giunta Regionale n. 2246 del 21 luglio 2003, approvato con Delibera n. 54/33 del 30 dicembre 2004 e reso esecutivo dal Decreto dell'Assessore dei Lavori Pubblici n. 3 del 21 febbraio 2005.

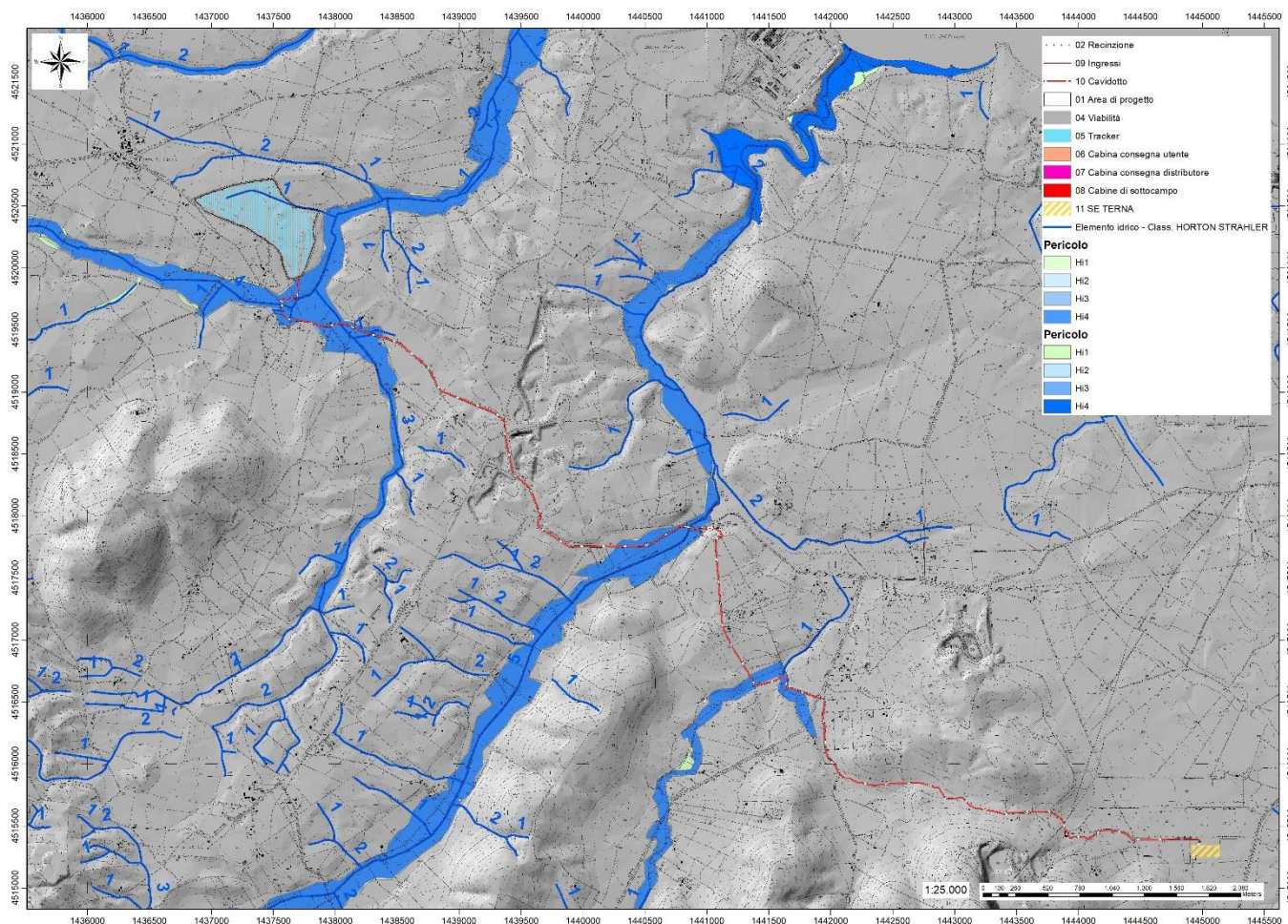


Figura 43 Inquadramento PAI, Carta della Pericolosità Idraulica Hi (fonte RAS)

Il PAI ha valore di piano territoriale di settore e, in quanto dispone con finalità di salvaguardia di persone, beni, ed attività dai pericoli e dai rischi idrogeologici, prevale sui piani e programmi di settore di livello regionale (Art. 4 comma 4 delle Norme Tecniche di Attuazione del PAI). Inoltre (art. 6 comma 2 lettera c delle NTA), "le previsioni del PAI [...] prevalgono: [...] su quelle degli altri strumenti regionali di settore con effetti sugli usi del territorio e delle risorse naturali, tra cui i [...] piani per le infrastrutture, il piano regionale di utilizzo delle aree del demanio marittimo per finalità turistico-ricreative".

L'area di impianto non è interessata da aree a pericolosità idraulica mentre è istituita una fascia di salvaguardia di 10m ex art.30ter per una lunghezza di circa 350m lungo il Fiume\_80574. Il cavidotto nel suo sviluppo attraversa diverse aree a pericolosità Hi4 ma correrà interrato ad una profondità maggiore di 1m da piano campagna e pertanto non interferirà con il normale deflusso delle acque.

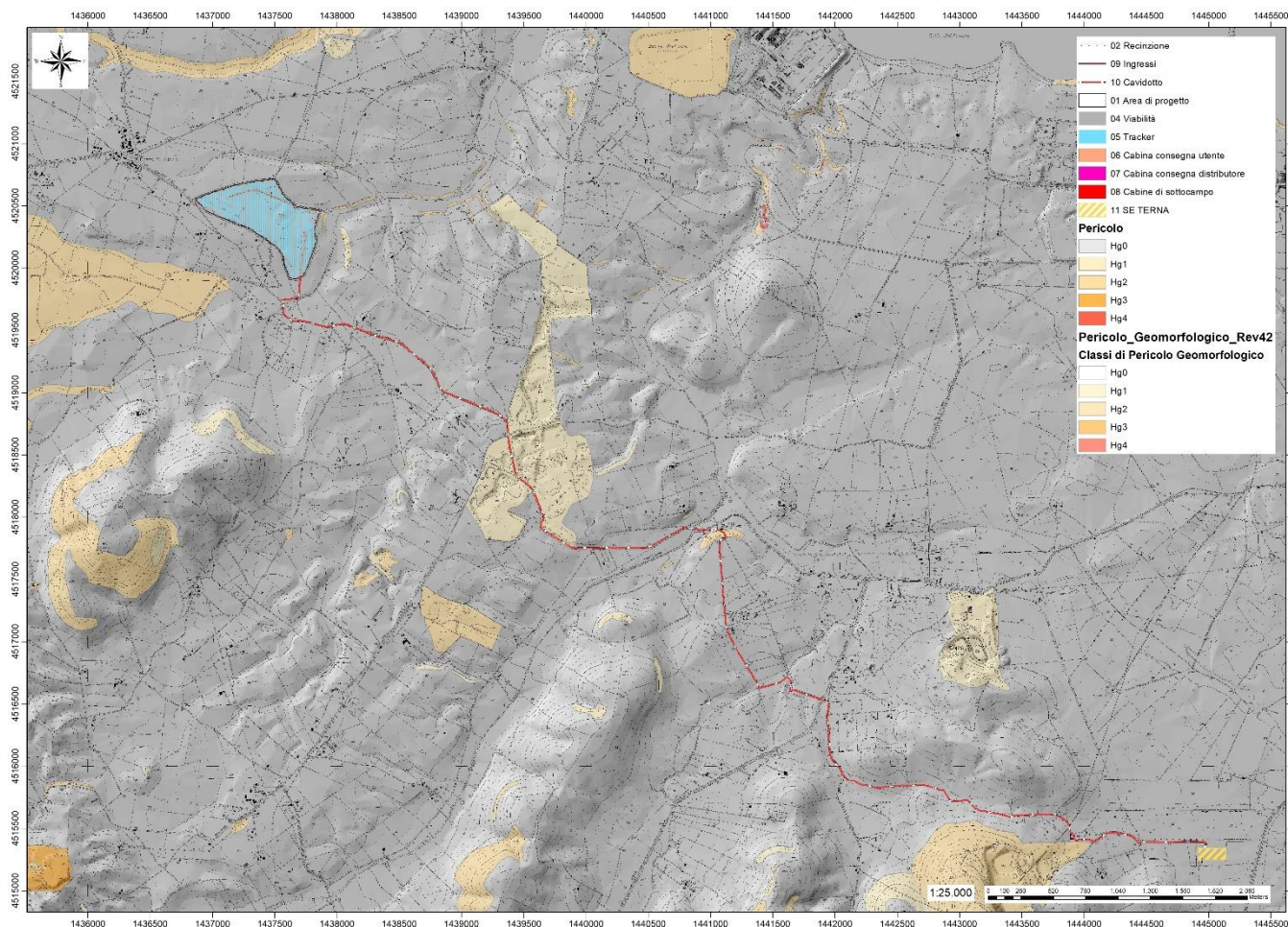


Figura 44 Inquadramento PAI, Carta della Pericolosità Geomorfologica Hg (fonte RAS)

Dai sopralluoghi effettuati in sito non si ha evidenza per quest'area di fenomeni franosi in atto o potenziali. La dinamica geomorfologica di versante è naturalmente presente ma senza manifestazioni importanti. Il cavidotto nel suo sviluppo attraversa aree a pericolosità idraulica Hg1.

**L'area di progetto è parzialmente compresa in aree caratterizzate da Pericolosità Idraulica e Pericolosità Geomorfologica.**

#### 14.1. PIANO DI GESTIONE DEL RISCHIO ALLUVIONI (PGRA)

L'articolo 7 del D.Lgs. 23 febbraio 2010 n. 49 "Attuazione della Direttiva Comunitaria 2007/60/CE, relativa alla valutazione e alla gestione dei rischi di alluvioni", che recepisce in Italia la Direttiva comunitaria

2007/60/CE, prevede che in ogni distretto idrografico, di cui all'art. 64 del D.Lgs.152/2006, sia predisposto il Piano di Gestione del Rischio di Alluvioni (di seguito indicato come PGRA). L'obiettivo generale del PGRA è la riduzione delle conseguenze negative derivanti dalle alluvioni sulla salute umana, il territorio, i beni, l'ambiente, il patrimonio culturale e le attività economiche e sociali.

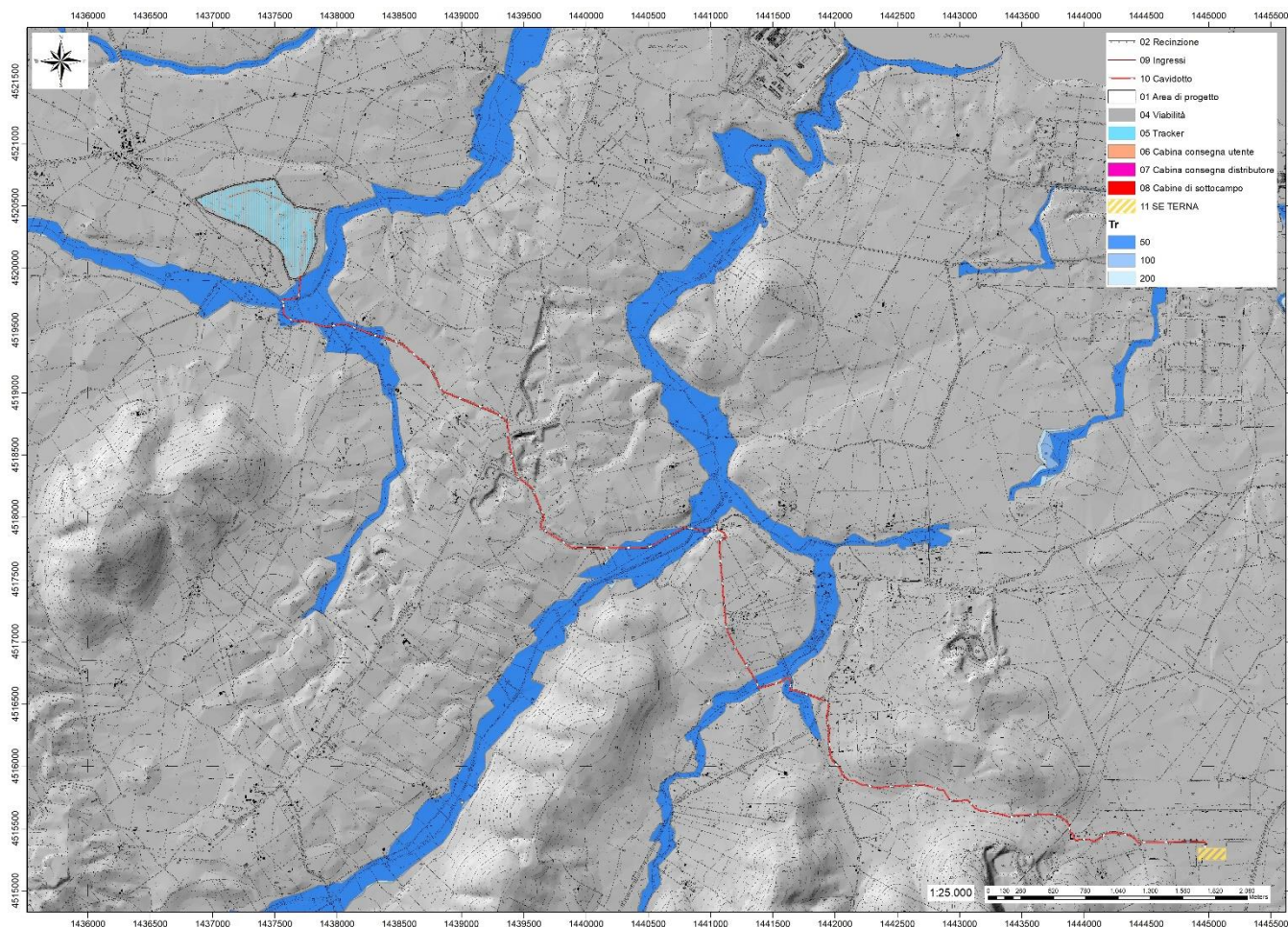


Figura 45 Inquadramento PGRA (fonte RAS)

Esso coinvolge pertanto tutti gli aspetti della gestione del rischio di alluvioni, con particolare riferimento alle misure non strutturali finalizzate alla prevenzione, protezione e preparazione rispetto al verificarsi degli eventi alluvionali; tali misure vengono predisposte in considerazione delle specifiche caratteristiche del bacino idrografico o del sottobacino interessato. Il PGRA individua strumenti operativi e di governance (quali linee guida, buone pratiche, accordi istituzionali, modalità di coinvolgimento attivo della popolazione) finalizzati alla gestione del fenomeno alluvionale in senso ampio, al fine di ridurre quanto più possibile le conseguenze negative.

**L'area di progetto è compresa nelle perimetrazioni del PGRA**

## 14.2. PIANO STRALCIO DELLE FASCE FLUVIALI (PSFF)

Il Piano Stralcio delle Fasce Fluviali (PSFF) definisce, per i principali corsi d'acqua della Sardegna, le aree inondabili e le misure di tutela per le fasce fluviali. A seguito dello svolgimento delle conferenze programmatiche, tenute nel mese di gennaio 2013, il Comitato Istituzionale dell'Autorità di Bacino della Regione Sardegna, con Delibera n.1 del 20.06.2013, ha adottato in via definitiva il Progetto di Piano Stralcio delle Fasce Fluviali.

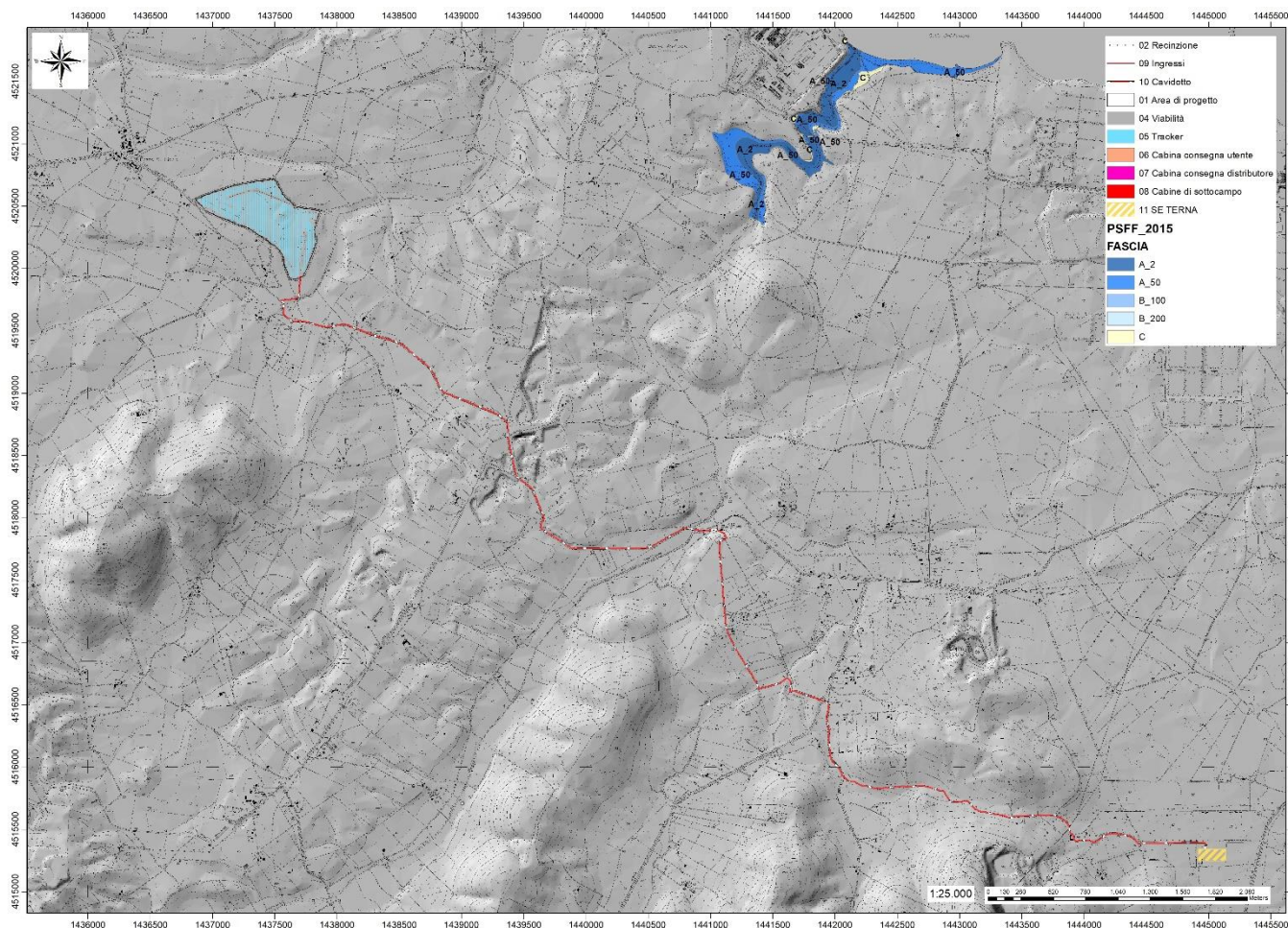


Figura 46 Inquadramento PSFF (fonte RAS)

**L'area di progetto non è compresa nelle perimetrazioni del PSFF**



## 15. MODELLO GEOLOGICO E GEOLOGICO-TECNICO

Sulla base di quanto emerso dai rilievi e da indagini eseguite in sito o, nell'approccio progettuale, stante il contesto geologico si evidenziano le seguenti criticità a cui sarà necessario prestare la opportuna attenzione nella progettazione delle opere e nelle varie fasi di realizzazione. L'analisi di tali fattori è funzionale alla progettazione e ha lo scopo di valutare la risposta del terreno ai nuovi carichi ed individuare azioni correttive o accorgimenti tali da limitarne gli effetti. Nello specifico:

- Circolazione idrica sotterranea secondaria o indotta e/o stagnazione di acque di pioggia –vanno considerati gli effetti dell'eventuale presenza d'acqua alla quota di imposta delle opere fondanti con particolare riferimento alla stagionalità degli apporti idrici e del relativo flusso negli ambiti più superficiali delle coltri di alterazione dei depositi alluvionali.
- Presenza di sacche argillose non attualmente identificabili che possono cambiare il grado di portanza dei terreni – sarà opportuno in fase di progettazione definitivo/esecutiva eseguire dei saggi sul terreno per confermarne o meno la presenza.

Dalle informazioni ricavate dal seguente studio è stato costruito il modello geologico preliminare del sito che sintetizza e descrive i caratteri litologici, strutturali, idrogeologici e geomorfologici trattati nei capitoli precedenti:

0,00m – 2,30m – **Litotipo 0** Suolo/ coltri colluviali-eluviali

da 2,30m in poi – **Litotipo A** Litofacies nel Subsistema di Portoscuso (SINTEMA DI PORTOVESME). Ghiaie alluvionali terrazzate da medie a grossolane, con subordinate sabbie. PLEISTOCENE SUP.

da 2,30m in poi – **Litotipo A'** FORMAZIONE DI FIUME SANTO. Argille arrossate con livelli e lenti di conglomerati a ciottoli di basamento paleozoico, vulcaniti e calcari mesozoici. Ambiente fluviale. TORTONIANO-MESSINIANO

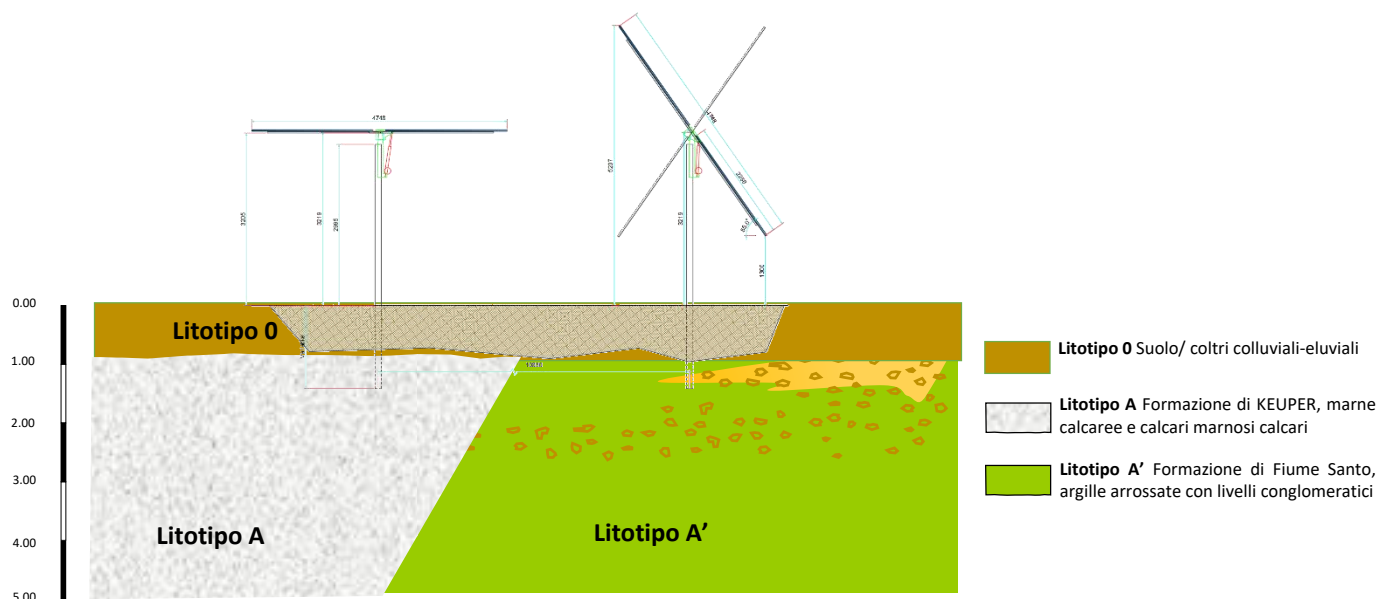


Figura 47 Modello geologico del sito (6.2.1 NTC 2018)

## 16. COMPATIBILITÀ IDROGEOLOGICA

### 16.1. AMMISSIBILITÀ DELL'INTERVENTO ALLE PRESCRIZIONI DEL PAI

La condizione di ammissibilità delle opere in progetto è contemplata nelle norme di attuazione del PAI ai seguenti articoli per i quali sono richiamati gli elementi essenziali:

#### **Articolo 23 - Prescrizioni generali per gli interventi ammessi nelle aree di pericolosità idrogeologica**

**comma 7.** Nel caso di interventi per i quali non è richiesto lo studio di compatibilità idraulica o geologica e geotecnica i proponenti garantiscono comunque che i progetti verifichino le variazioni della risposta idrologica, gli effetti sulla stabilità e l'equilibrio dei versanti e sulla permeabilità delle aree interessate alla realizzazione degli interventi, prevedendo eventuali misure compensative.

Facendo riferimento ai criteri di ammissibilità previsti in **aree a pericolosità idraulica**, l'intervento è ammesso anche in aree a pericolosità molto elevata Hi4, secondo il combinato disposto:

#### **Art. 27 - Disciplina delle aree di pericolosità idraulica molto elevata (Hi4)**

**comma 3.** In materia di infrastrutture a rete o puntuali pubbliche o di interesse pubblico nelle aree di pericolosità idraulica molto elevata sono consentiti esclusivamente:

**lettera g.** *le nuove infrastrutture a rete o puntuali previste dagli strumenti di pianificazione territoriale e dichiarate essenziali e non altrimenti localizzabili; nel caso di condotte e di cavidotti, non è richiesto lo studio di compatibilità idraulica di cui all'articolo 24 delle presenti norme qualora sia rispettata la condizione che tra piano di campagna e estradosso ci sia almeno un metro di ricoprimento, che eventuali opere connesse emergano dal piano di campagna per una altezza massima di 50 cm, che per le situazioni di parallelismo non ricadano in alveo e area golenale e che il soggetto attuatore provveda a sottoscrivere un atto con il quale si impegna a rimuovere a proprie spese tali elementi qualora sia necessario per la realizzazione di opere di mitigazione del rischio idraulico;*

Facendo riferimento ai criteri di ammissibilità previsti in **aree a pericolosità geologico-geotecnica**, l'intervento è ammesso anche in aree a pericolosità media Hg2,

#### dall' **Art. 31 - Disciplina delle aree di pericolosità molto elevata da frana (Hg4)**

**comma 3 lettera e:** allacciamenti a reti principali e nuovi sottoservizi a rete interrati lungo tracciati stradali esistenti, ed opere connesse compresi i nuovi attraversamenti;

#### dall' **Art. 33 - Disciplina delle aree di pericolosità media da frana (Hg2)**

**comma 3.** In materia di patrimonio edilizio pubblico e privato nelle aree di pericolosità media da frana sono consentiti esclusivamente:

*lettera a. gli ampliamenti, le ristrutturazioni e le nuove realizzazioni di infrastrutture riferibili a servizi pubblici essenziali non altrimenti localizzabili o non delocalizzabili, a condizione che non esistano alternative tecnicamente ed economicamente sostenibili, che tali interventi siano coerenti con i piani di protezione civile, e che ove necessario siano realizzate preventivamente o contestualmente opere di mitigazione dei rischi specifici.*

16.2.      **Analisi sulle variazioni della risposta idrologica, gli effetti sulla stabilità e l'equilibrio dei versanti e sulla permeabilità (Art.3 c.7 NTA PAI)**

**Risposta idrologica e permeabilità.** L'intervento prevede una minima occupazione di suolo dovuta all'impronta dei sostegni dei pannelli infissi nel terreno che non determina una sostanziale variazione al regime di deflusso idrico superficiale o sulla permeabilità relativamente alle condizioni ante intervento.

I pannelli sono posizionati a circa 2,00 metri da piano campagna non interrompendo o ostacolando il normale deflusso superficiale. Analogamente la rete di connessione, trovandosi interrata, non determina variazioni sostanziali all'attuale regime di deflusso delle acque superficiali.

**Effetti sulla stabilità e l'equilibrio dei versanti.** L'intervento è realizzato in un'area sub-pianeggiante dove non sono stati rilevati in fase di progettazione evidenze di dissesto da frana né quiescenti né attivi.

La realizzazione del cavidotto prevede l'esecuzione di uno scavo temporaneo che verrà ricoperto subito dopo il posizionamento degli strati di allettamento, la stesura del cavo e i relativi rinfianchi. Verrà eseguito per porzioni, pertanto, non esiste la possibilità della permanenza di scavi aperti per lungo tempo, garantendo di fatto, il mantenimento delle condizioni di stabilità ex ante ed ex post.

**Ne consegue che, in relazione ai criteri di valutazione del PAI, l'intervento è compatibile e non determina aumento del livello di pericolosità da frana ex ante.**

## 17.CONCLUSIONI

Il presente studio ha permesso di verificare la compatibilità del progetto in questione con le prescrizioni del PAI.

Dall'analisi delle caratteristiche dell'opera, della sua ubicazione e delle interazioni con lo strumento normativo del PAI, la stessa è ammissibile secondo quanto disposto dall'art 23 comma 7 delle NTA PAI:

### **Articolo 23 - Prescrizioni generali per gli interventi ammessi nelle aree di pericolosità idrogeologica**

**comma 7.** Nel caso di interventi per i quali non è richiesto lo studio di compatibilità idraulica o geologica e geotecnica i proponenti garantiscono comunque che i progetti verifichino le variazioni della

risposta idrologica, gli effetti sulla stabilità e l'equilibrio dei versanti e sulla permeabilità delle aree interessate alla realizzazione degli interventi, prevedendo eventuali misure compensative.

Facendo riferimento ai criteri di ammissibilità previsti in **aree a pericolosità idraulica**, l'intervento è ammesso anche in aree a pericolosità molto elevata Hi4, secondo il combinato disposto:

#### **Art. 27 - Disciplina delle aree di pericolosità idraulica molto elevata (Hi4)**

**comma 3.** In materia di infrastrutture a rete o puntuali pubbliche o di interesse pubblico nelle aree di pericolosità idraulica molto elevata sono consentiti esclusivamente:

**lettera g.** *le nuove infrastrutture a rete o puntuali previste dagli strumenti di pianificazione territoriale e dichiarate essenziali e non altrimenti localizzabili; nel caso di condotte e di cavidotti, non è richiesto lo studio di compatibilità idraulica di cui all'articolo 24 delle presenti norme qualora sia rispettata la condizione che tra piano di campagna e estradosso ci sia almeno un metro di ricoprimento, che eventuali opere connesse emergano dal piano di campagna per una altezza massima di 50 cm, che per le situazioni di parallelismo non ricadano in alveo e area golenale e che il soggetto attuatore provveda a sottoscrivere un atto con il quale si impegna a rimuovere a proprie spese tali elementi qualora sia necessario per la realizzazione di opere di mitigazione del rischio idraulico;*

Facendo riferimento ai criteri di ammissibilità previsti in **aree a pericolosità geologico-geotecnica**, l'intervento è ammesso anche in aree a pericolosità media Hg2,

#### dall' **Art. 31 - Disciplina delle aree di pericolosità molto elevata da frana (Hg4)**

**comma 3 lettera e:** allacciamenti a reti principali e nuovi sottoservizi a rete interrati lungo tracciati stradali esistenti, ed opere connesse compresi i nuovi attraversamenti;

#### dall' **Art. 33 - Disciplina delle aree di pericolosità media da frana (Hg2)**

**comma 3.** In materia di patrimonio edilizio pubblico e privato nelle aree di pericolosità media da frana sono consentiti esclusivamente:

**lettera a.** *gli ampliamenti, le ristrutturazioni e le nuove realizzazioni di infrastrutture riferibili a servizi pubblici essenziali non altrimenti localizzabili o non delocalizzabili, a condizione che non esistano alternative tecnicamente ed economicamente sostenibili, che tali interventi siano coerenti con i piani di protezione civile, e che ove necessario siano realizzate preventivamente o contestualmente opere di mitigazione dei rischi specifici.*

Inoltre, secondo quanto previsto dall'**Art. 23 comma 9** vengono rispettate le seguenti indicazioni:

- a. migliorare in modo significativo o comunque non peggiorare le condizioni di funzionalità del regime idraulico del reticolo principale e secondario, non aumentando il rischio di inondazione a valle;
- b. migliorare in modo significativo o comunque non peggiorare le condizioni di equilibrio statico dei versanti e di stabilità dei suoli attraverso trasformazioni del territorio non compatibili;
- c. non compromettere la riduzione o l'eliminazione delle cause di pericolosità o di danno potenziale né la sistemazione idrogeologica a regime;
- d. non aumentare il pericolo idraulico con nuovi ostacoli al normale deflusso delle acque o con riduzioni significative delle capacità di invaso delle aree interessate;
- e. limitare l'impermeabilizzazione dei suoli e creare idonee reti di regimazione e drenaggio;
- f. favorire quando possibile la formazione di nuove aree esondabili e di nuove aree permeabili;
- l. non incrementare le condizioni di rischio specifico idraulico o da frana degli elementi vulnerabili interessati ad eccezione dell'eventuale incremento sostenibile connesso all'intervento espressamente assentito;
- m. assumere adeguate misure di compensazione nei casi in cui sia inevitabile l'incremento sostenibile delle condizioni di rischio o di pericolo associate agli interventi consentiti;
- n. garantire condizioni di sicurezza durante l'apertura del cantiere, assicurando che i lavori si svolgano senza creare, neppure temporaneamente, un significativo aumento del livello di rischio o del grado di esposizione al rischio esistente;
- o. garantire coerenza con i piani di protezione civile.

Inoltre, gli interventi previsti non producono incremento del carico insediativo.

In considerazione di tutto quanto sopra esposto, è possibile asserire che la realizzazione dell'opera in progetto, non essendo compresa in aree vincolate dal PAI, non è interessata da pericolosità idrogeologica, pertanto:

- non è di ostacolo al naturale deflusso delle acque superficiali e pertanto non è in grado di aumentare il livello di rischio idraulico;
- non è in grado di determinare alterazioni al regime idraulico della zona in esame;
- non inficia significativamente i processi di infiltrazione delle acque nel sottosuolo.

Pertanto, alla luce delle considerazioni sopra riportate, **si attesta la compatibilità idrogeologica** tra l'opera e il territorio circostante.

Ing. Bruno Manca

Geol. Cosima Atzori